

استخدام التحليل الإحصائي "خاصية kringing" لقياس تلوث المياه الجوفية في مدينة بغداد وعميم خرائطها

العنوان:	
المصدر:	مجلة الآداب
الناشر:	جامعة بغداد - كلية الآداب
المؤلف الرئيسي:	الساكنى، عبير يحيى أحمد
المجلد/العدد:	ع 134
محكمة:	نعم
التاريخ الميلادي:	2020
الشهر:	أيلول
الصفحات:	411 - 440
رقم MD:	1084903
نوع المحتوى:	بحوث ومقالات
اللغة:	Arabic
قواعد المعلومات:	AraBase, HumanIndex
مواضيع:	التحليل الإحصائي، نظم المعلومات الجغرافية، الاستشعار عن بعد، التلوث البيئي، المياه الجوفية، بغداد
رابط:	<a href="http://search.mandumah.com/Record/1084903">http://search.mandumah.com/Record/1084903</a>

استخدام التحليل الإحصائي (خاصية kringing) لقياس تلوث المياه الجوفية  
في مدينة بغداد وعميم خرائطها

أ.م.د عبير يحيى أحمد الساكنى

كلية التربية / الجامعة المستنصرية

[abeersakini8@gmail.com](mailto:abeersakini8@gmail.com)

(مُلَخَّصُ الْبَحْث)

يهدف البحث إلى الوقوف على مدى كفاءة تقنيات التحليل الإحصائي المكانى Geostatistical Analysis (خاصية kringing) في قياس تلوث المياه الجوفية لمدينة بغداد وتعدين خرائطها وتشخيص الآبار الأكثر كثافة للتلوث الكبريتى (ثنائي اكسيد الكبريت  $\text{SO}_2$ ) وبناء نماذج خرائطية بثلاثة مقاييس التي تعكس هذه المستويات لعينات من آبار المياه الجوفية البالغة (30) بئراً ، والتي تم تحديدها باستخدام جهاز (GPS) والمثبتة احداثياتها ضمن منطقة الدراسة و اختيار الانموذج المكانى الأمثل لاحتساب تلك المستويات بأسلوب تقنى من خلال تطبيق طرق تصنيف (خاصية Kringing) ورسم خرائطها وتعيمتها لثلاث مقاييس  $1/1$  و  $1/10000$  و  $1/25000$  و بناء المؤشرات وبناء قاعدة البيانات الجغرافية لها.

## أولاً : المقدمة :

تعد ظاهرة التلوث البيئي من أهم المشكلات التي تهدد كوكبنااليوم، نظرأ لعلاقته بالنشاط البشري نتيجة فعاليات الإنسان التي قد تلحق الضرر بالبيئة الطبيعية، ومنها تلوث المياه الجوفية في مدينة بغداد الذي جاء انعكاساً للمتغيرات الجغرافية المتعددة مما يتطلب ضرورة تشخيص آثار تلك الملوثات (الطبيعية والبشرية) والعمل على دراسات متعمقة لإيجاد الحلول الناجزة من خلال وصف وتحليل وتبليغ فيه عناصر تلك المتغيرات التي تساهم في تلوث المياه .

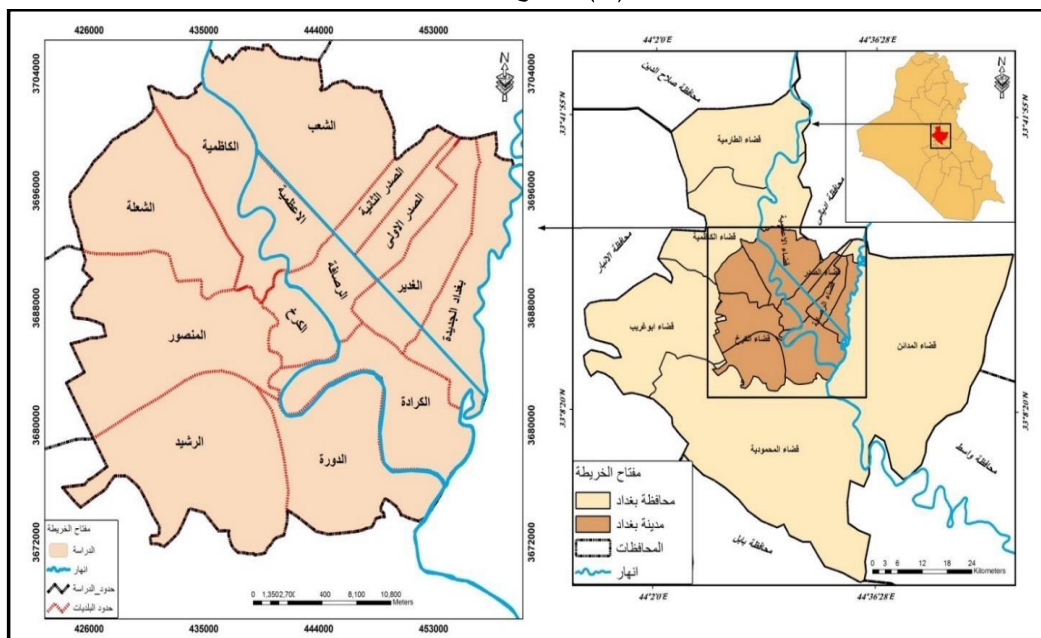
وأصبحتاليوم توظيف تقنية نظم المعلومات الجغرافية GIS وبيانات الاستشعار عن بعد RS من الوسائل المهمة في التحليلات المكانية وتحديد مصادر التلوث عن البيئة المحلية لتلك المدينة والخروج بنتائج دقيقة سواءً من ناحية التصنيف والتحليل الإحصائي المتقدم (Geostatistical Analysis) من خلال استخدام هذه الطرق (خاصية Kraining) في تشخيص الآبار الأكثر كثافة للتلوث الكبريت (ثاني اوكسيد الكبريت SO<sub>2</sub>) وبناء نماذج خرائطية التي تعكس هذه المستويات لعينات من آبار المياه الجوفية والتي تم تحديدها باستخدام جهاز (GPS) والمأخوذة احداثياتها ضمن منطقة الدراسة ، واختيار الانموذج

المكاني الأمثل لاحتساب تلك المستويات بأسلوب تقني من خلال تطبيق طرق تصنيف (خاصية Kringing) ورسم خرائطها وتعديمها لثلاث مقاييس ٥٠٠٠٠/١ ٢٥٠٠٠/١ و ١٠٠٠٠، (القصاب ، ٢٠١٠ ، ص ١١ ) (بدن ، ٢٠٠٢ ، ص ٣٥) .

### ثانياً: موقع منطقة الدراسة :

تقع مدينة بغداد ضمن منطقة السهل الرسوبي المنبسط ما بين دائري عرض  $33.10^{\circ}$ - $33.10^{\circ}$  شمالياً وخطي طول  $44.15^{\circ}$  -  $44.34^{\circ}$  شرقاً ، كما في الخريطة (١) ، ويختنق مدينة بغداد نهر دجلة ويفصلها إلى قسمين بما جانب الكرخ على الجهة اليمنى منه وجانب الرصافة على الجهة اليسرى ، ويحدها من الشرق نهر ديالى الذي يصب في نهر دجلة جنوب شرق مدينة بغداد وقناة الجيش التي تستمد مياهها من نهر دجلة في الجزء الشمالي من مدينة بغداد وتتجه نحو الجنوب الشرقي لتصب في نهر ديالى، أما جانب الكرخ يخترقه نهر الخر الذي يصب في الجزء الجنوبي من مدينة بغداد في نهر دجلة (٣) .

### خرائط (١) موقع منطقة الدراسة



المصدر : من عمل الباحثة بالاعتماد على وزارة الموارد المائية ، الهيئة العامة للمساحة ، خريطة العراق الإدارية ١٠٠٠٠٠٠/١ ، وخرائط محافظة بغداد الإدارية بمقاييس ٥٠٠٠٠٠/١ ، وخرائط مدينة بغداد الإدارية بمقاييس ٢٥٠٠٠/١ ، لسنة ٢٠١٠ ، باستخدام برنامج Arc GIS.V.10.0 .

### ثالثاً: مشكلة البحث وتساؤلاته:

أصبحت الطرق التقليدية في وصف وتحليل تباين قيم المتغيرات الجغرافية من الناحية المنهجية بسيطة إلى درجة لا يمكن الاعتماد عليها بما يتلاءم مع الأهداف المتواحة، مما أدى إلى توظيف تقنيات التحليل الإحصائي المتقدم Geostatistical Analysis (خاصية

(Kringing) في ضمن بيئة نظم المعلومات الجغرافية GIS في تحديد أماكن آبار المياه الجوفية وتحليل نتائج تلوثها مكانيًّا، ومن خلال هذه المشكلة يمكن طرح بعض التساؤلات الآتية :

- ١ - هل يمكن توظيف تقنيات التحليل الإحصائي المتقدم (خاصية Kringing) في اعداد خرائط تلوث المياه الجوفية لمدينة بغداد ؟
  - ٢ - كيف يمكن تحديد موقع تلك الآبار وقياس التلوث الكبريت SO2 فيها ؟
  - ٣ - ما مدى استخدام طرق (خاصية Kringing) في تشخيص الآبار الأكثر كثافة للتلوث الكبريت SO2 ورسم خرائطها وعميمها إلى مقاييس متعددة ؟
  - رابعاً : فرضية البحث : يمكن تحديد فرضية البحث بالنقاط الآتية :
    - ١ - إن طرق (خاصية Kringing) يمكن أن تساهم في بناء نماذج خرائطية تعطي نتائج التصنيف الإحصائي لبيانات التلوث الكبريت SO2 لموقع آبار المياه الجوفية في منطقة الدراسة .
    - ٢ - هناك علاقة بين مستويات التلوث لثاني أكسيد الكبريت للمياه الجوفية وبين طرق استخدام (خاصية Kringing) في تحليل هذه المستويات ورسم خرائطها وعميمها لمقاييس متعددة.
- خامساً: أهداف البحث: يهدف البحث الوصول إلى الأهداف الآتية:
- ١ - اشتقاق مستويات التلوث الكبريت للمياه في منطقة الدراسة استناداً ، إلى طرق (خاصية Kringing) ضمن بيئة برنامج Arc GIS v.10.3 .
  - ٢ - تهيئة متغيرات التلوث بطرق التحليل الإحصائي (خاصية Kringing) وصولاً إلى بناء نماذج تصنيفية مدركه وعميم خرائطها إلى مقاييس متعددة .
  - ٣ - تحليل نتائج تباين مستويات التلوث للمياه الجوفية في منطقة الدراسة .
- سادساً : منهجية البحث:

يعتمد البحث على المنهج العلمي الاستقرائي لفهم الطريقة المناسبة لعملية اشتقاق مستويات التلوث بعد تهيئة البيانات والمتغيرات وإيجاد العلاقات المتبادلة وصولاً إلى خرائط بمستويات تصنيفية متعددة ، بالإضافة إلى استخدام اسلوب العرض والتحليل الخرائطي باستخدام (GIS وRS) ذات الكفاءة العالية في تصميم الخرائط الرقمية وعميم خرائطها إلى مقاييس متعددة .

## سابعاً : بيانات الدراسة :

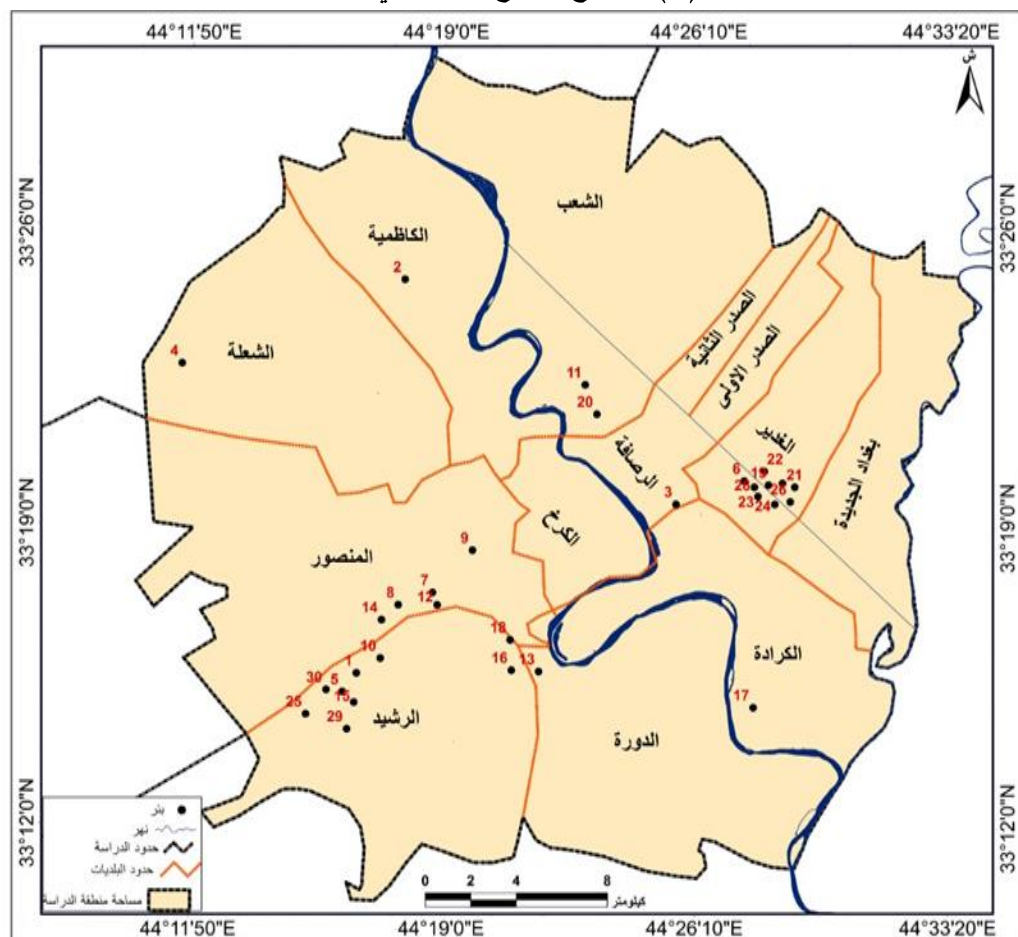
تم الاعتماد على بيانات التلوث الكبريتي  $\text{SO}_2$  المأخوذ من آبار المياه الجوفية الموجودة ضمن منطقة الدراسة بحسب احداثياتها باستخدام جهاز GPS، وكما في الجدول (١) والخريطة (٢).

الجدول (١) يبين موقع الآبار في مدينة بغداد

رقم البئر	X	Y	2SO
١	٤٤,١٠٤	٣٣,٠٣٦٩	١٢
٢	٤٤,١٤٥٤	٣٣,٢٠٠٧	٢٠
٣	٤٤,١٩٣	٣٣,٠٦٢	٦٠
٤	٤٤,٠٤٣١	٣٣,١٧٣٨	٩٠
٥	٤٤,١٧٢٧	٣٣,٠٧١٣	١١٠
٦	٤٤,١٧٢٤	٣٣,٠٧٢٤	٣٠
٧	٤٤,١٧٥٢	٣٣,٠٧٣١	١٠٥
٨	٤٤,١٥٤٨	٣٣,٠٧١٢	٢٠٠
٩	٤٤,١٨٣٥	٣٣,٠٩٤٣	٨٠
١٠	٤٤,١٤٢٥	٣٣,٠٦٣	٨٦
١١	٤٤,٢١٥٥	٣٣,١٧٣٢	٣٠
١٢	٤٤,١٧٧	٣٣,٠٧١	١٥٠
١٣	٤٤,٢٠٦١	٣٣,٠٥٣	٣٠٠
١٤	٤٤,١٤٢٣	٣٣,٠٦٤	١٧٧
١٥	٤٤,١٢٣٥	٣٣,٠٣٣١	٩٨
١٦	٤٤,١٩٢	٣٣,٠٥٣٥	١٧٠
١٧	٤٤,٢٩٢٧	٣٣,٠٥٢٥	٦١
١٨	٤٤,١٩٤	٣٣,٠٦١٣	٥٥٥
١٩	٤٤,٣٠٢٥	٣٣,١٢٤	٥٠٠
٢٠	٤٤,٢٢٢٥٨	٣٣,١٦٢١	٢٠٨
٢١	٤٤,٣٠٤٨	٣٣,١٢٢١	٤٥٠
٢٣	٤٤,٣١٤	٣٣,١٢٠١	٦٨
٢٤	٤٤,٣١٢	٣٣,١٢١٥	٢٠٨
٢٥	٤٤,٣٠٠١	٣٣,١٢٢	٥٦٦
٢٦	٤٤,٣١٠٥	٣٣,١٢١٥	٤٨٠
٢٧	٤٤,٣٠٥٧	٣٣,١٢٥٥	١٧٧
٢٨	٤٤,١٠٠١	٣٣,٠٤٠٣	٢٠
٢٩	٤٤,١٠٤٩	٣٣,٠٤٠٩	٣٥
٣٠	٤٤,١٠٠٩	٣٣,٠٣٥٨	٢٠

المصدر : من عمل الباحثة اعتماداً على الدراسة الميدانية والتحليلات المختبرية .

## الخريطة (٢) توضح مواقع الآبار في مدينة بغداد



المصدر : من عمل الباحثة اعتماداً على بيانات جدول (١) ومحرّجات برنامج Arc GIS.v.10.3

### ثامناً : مفهوم التصنيف والتحليل الإحصائي في (خاصية Kringing) (٤) :

على الرغم من عدم وجود اتفاق حول العدد المثالي للأصناف، فإن هناك اتفاقاً عاماً مفاده، أن الإدراك الذهني للإنسان لا يمكن أن يميز بسهولة لأكثر من (١١) تصنيفاً أو رمزاً للمساحة بالدرج الرمادي، والذي يعتمد على الخصائص المختلفة للبيانات وتوزيعها وتميزها ودقتها المكانية وتقييعها على الخريطة التي يتم إدراكتها من قبل القارئ أو المستخدم ، وأن هذه الخرائط يمكن تعليمها ، وأن مثل هذه الخرائط (الخرائط الإحصائية ) Statistical Maps المبنية على اصناف الفئات مختارة بحسب المقاييس والتصانيف الإحصائية (classify) لبيانات المعالم الجغرافية بأنماطها التوقيعية مع المحافظة على البيانات والمعالج المهمة اثناء تغيير المقاييس من الكبير إلى الصغير بغية الوصول إلى التعليم الإحصائي لهذه البيانات لأجل تصنيف وتمثيل بيانات التلوث البيئي للمياه الجوفية في منطقة الدراسة ثم استخدام التحليل الإحصائي (Geostatistical Analysis) من خلال استخدام (خاصية Kraining) في تشخيص الآبار الأكثر كثافة للتلوث الكبريت (ثاني أكسيد الكبريت  $SO_2$ ) وبناء نماذجها عن طريق مخرجات الطرق الستة لخاصية Kraining والتبوء في وسط كل

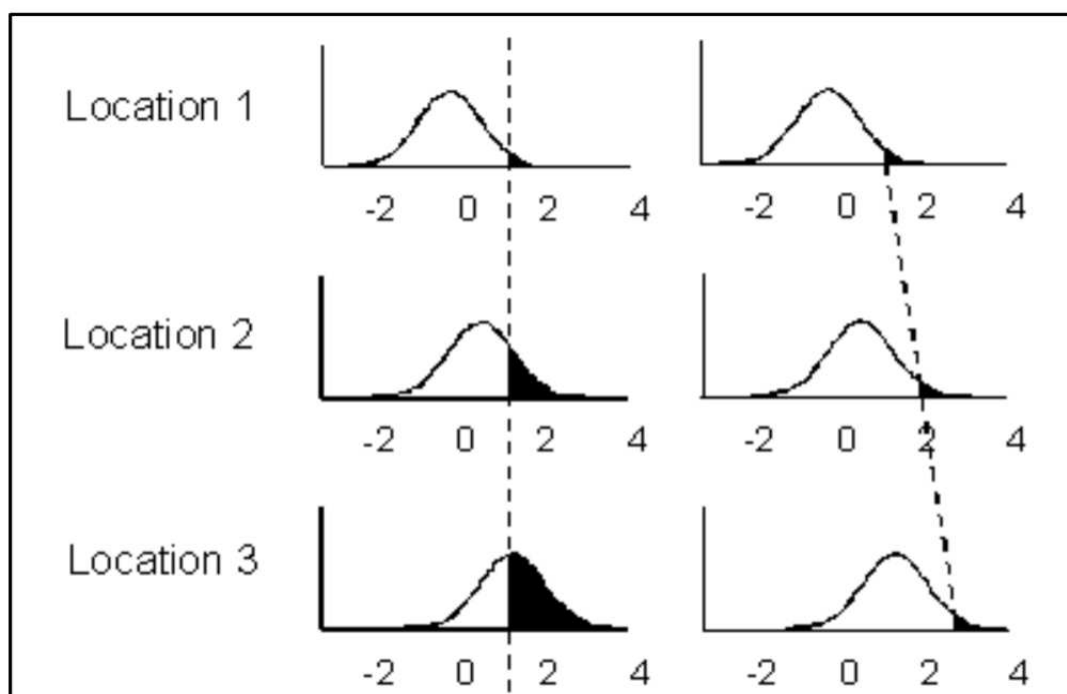
منحنى، إذ يمكن أن تنتج خريطة للتبؤ تمثل السطح كله (George, 1963, 204°).

George

وأن طريقة كريكنج Krining فهي أحد طرق التحليل الإحصائي القائمة على التخمين المكاني، إذ تستخدم نماذج إحصائية تسمح بإنتاج خرائط متعددة، وأن الهدف النهائي هو إنتاج سطح القيم المتوقعة، وتتضمن التنبؤات والخطأ القياسي للتبؤ، فمثلاً إذا كنت تريد أن تعرف كفاءة التوقع، يمكن إنتاج ثلاثة أنواع مختلفة من خرائط التنبؤ، ويمكن النظر في الشكل التالي الذي يفترض أن التنبؤات تتوزع في ثلاثة مواقع من خلال استخدام عمليات المؤشرات الثابتة.

سيكون التنبؤ في وسط كل منحنى، إذ يمكن أن تنتج خريطة للتبؤ تمثل السطح كله، وبالنظر إلى الأرقام الثلاثة على اليسار، ستكون المنطقة تحت المنحنى على يمين الخط المتقطع في حالة التنبؤ قيمة التنبؤ أكبر من 1 وهكذا، وبالنظر إلى الأرقام الثلاثة على اليمين، إذا كنت ترغب في التنبؤ الكمي مع 5 في المئة من احتمال إلى اليمين، وسوف تكون القيمة في خط متقطع (مأخوذ من المحور س)، مرة أخرى، يتغير توزيع التنبؤات لكل موقع الشكل (١) وهكذا، عند عقد ثابت الاحتمال، يتم إنتاج خريطة كمية للسطح كله، ويمكن إنتاج خرائط الخطأ القياسي للتبؤ والخرائط الاحتمالية ، كما في الجدول (٢) استخدام الأساليب ومخرجات طريقة كريكنج إلى جانب الافتراضات الرئيسية، والصورة (١) .

الشكل (١) التنبؤ بطريقة كريكنج



## الجدول (٢) أساليب وخرجات طريقة كرينج

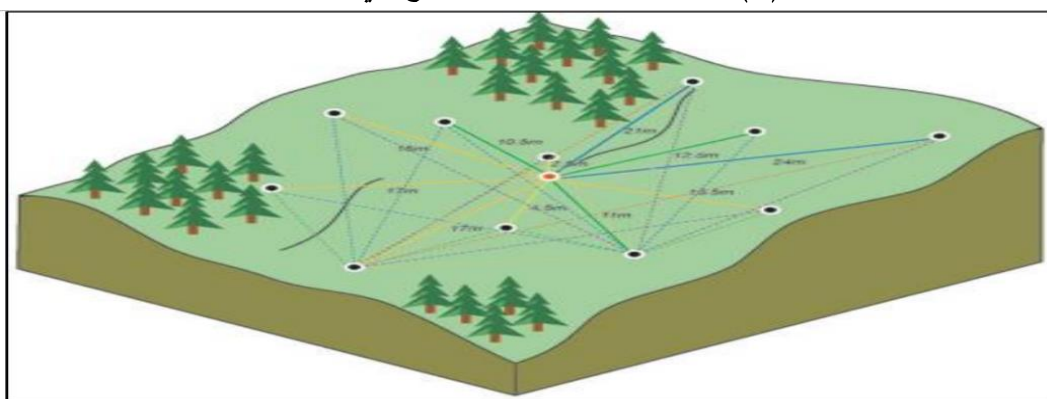
طرق Kriging	التوقعات Predictions	الأخطاء القياسية للتنبؤ Prediction standard errors	الخانط الكمية Quantile maps	الخائط الاحتمالية Probability maps	الأخطاء القياسية للمؤشرات Standard errors of indicators
عادية Ordinary	X	X	X *	X *	
العامة Universal	X	X	X *	X *	
البسيطة Simple	X	X	X *		
الدليل Indicator				X	X
الاحتمالية Probability				X	X
الاستدراكية Disjunctive	X **	X **		X **	X **

- إمكانية عمل الطريقة في الخاصية X

- يتطلب افتراض التوزيع العادي متعدد المتغيرات \*

- الافتراض المطلوب للوضعيّة الثانية للمتغير \*\*

## صورة (١) طريقة عمل خاصية كرينج في ربط البيانات



تحتوي طريقة Kriging على ستة طرق وهي احدى طرق التحليل الإحصائي للاستكمال المكاني، تضع في حساباتها قياس الارتباط المكاني بين نقط التحكم المرصودة لوصف الاختلاف في السطح، لذلك فإن النقاط التي تكون متقاربة من بعضها لها درجات خاصة من العلاقات الرياضية الخاصة بها، وأما النقاط التي تكون منفصلة بشكل واسع فأنها تصبح مستقلة إحصائياً، ويتم حساب الارتباط

المكاني بين النقط داخل محيط معين، أو بين نقط التحكم كلها، ثم يتم تحديد موقع النقاط المستتبطة والقيم التي تحملها تبعاً لقيمة الارتباط فيها (داود ، ٢٠١٢ ، ٥٧)،

وأن هذه الطرق هي

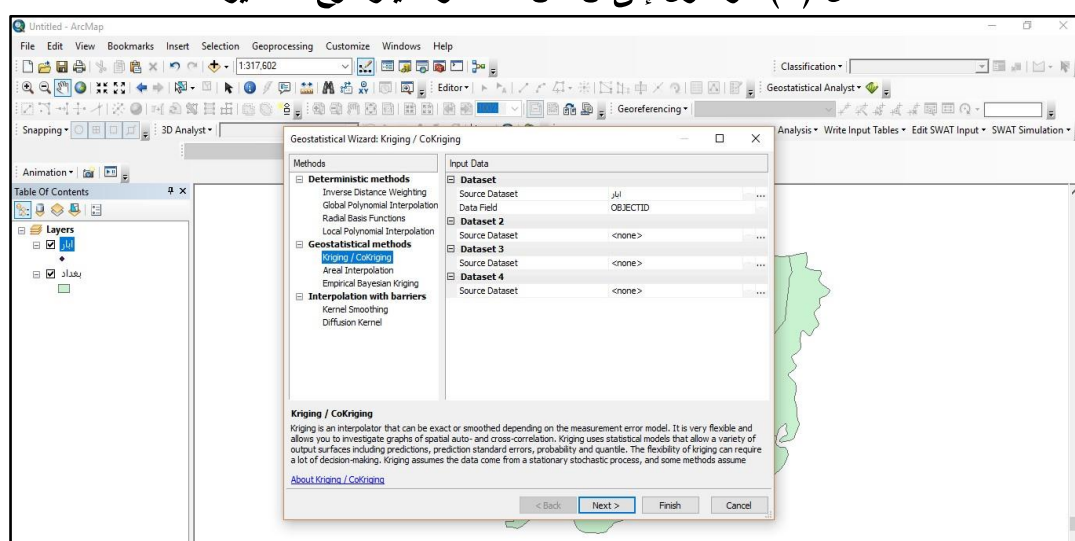
- |                             |                      |
|-----------------------------|----------------------|
| ٤ - العامة Universal        | ١ - العادية Ordinary |
| ٥ - الاحتمالية Probability  | ٢ - البسيطة Simple   |
| ٦ - الاستدراكية Disjunctive | ٣ - الدليل Indicator |

تتطلب هذه الطرق بيانات ذات نمط توقيع نقطي (Point)، يحتوي على بيانات وفي صدد هذه الدراسة تم استخدام التلوث من نوع الكبريت ( $\text{SO}_2$ ) لمدينة بغداد ، وسيتم تطبيق هذا المتغير بجميع الطرق السابقة الذكر ، ومن ثم معرفة أي الطرق أكثر كفاءة من خلال نمط التمثيل الذي تتخذه الظاهرة .

**تاسعاً : آلية استخدام خاصية Kringing في برنامج ArcGIS لتمثيل التلوث في مدينة بغداد :**

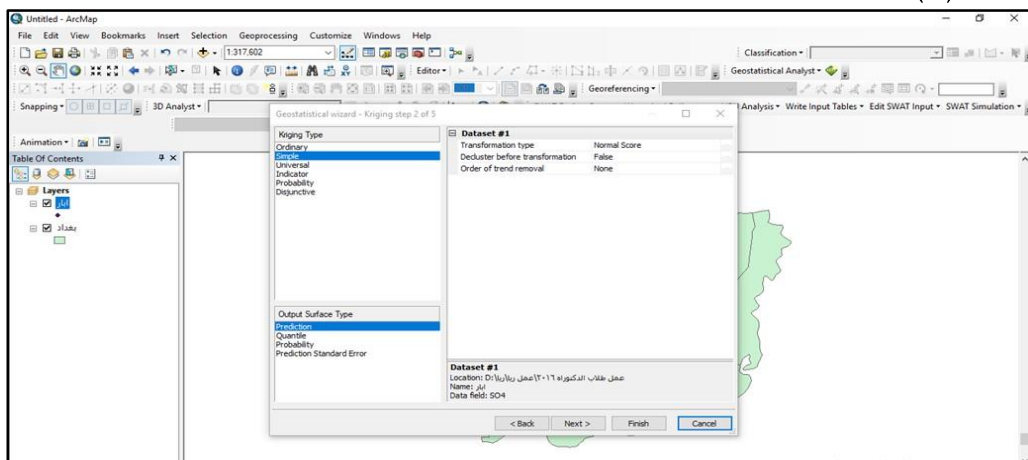
تم تسقيط موقع العينات المأخوذة من جهاز GPS والموقعة على المرئية الفضائية والخريطة (٢)، ومن ثم استدعاء موقع اختيار العينات التي تحتوي على قاعدة بيانات Arc GIS (Arc map) وبواسطة برنامج SO (Arc GIS) والتطبيق (Geostatistical Analysis) وهو أحد الملاحق المهمة في برنامج (Arc map) وهذه العملية تمت من خلال خاصية Kringing (Geostatistical) أحدى خواص برنامج (Arc GIS) المذكورة انفأ ، حيث تم فتح الملحق (Arc GIS) ثم اختيار خاصية Kringing ثم اختيار قيمة الملوث وكما في الشكل (٢) .

#### الشكل (٢) الوصول إلى Kringing و اختيار نوع المتغير



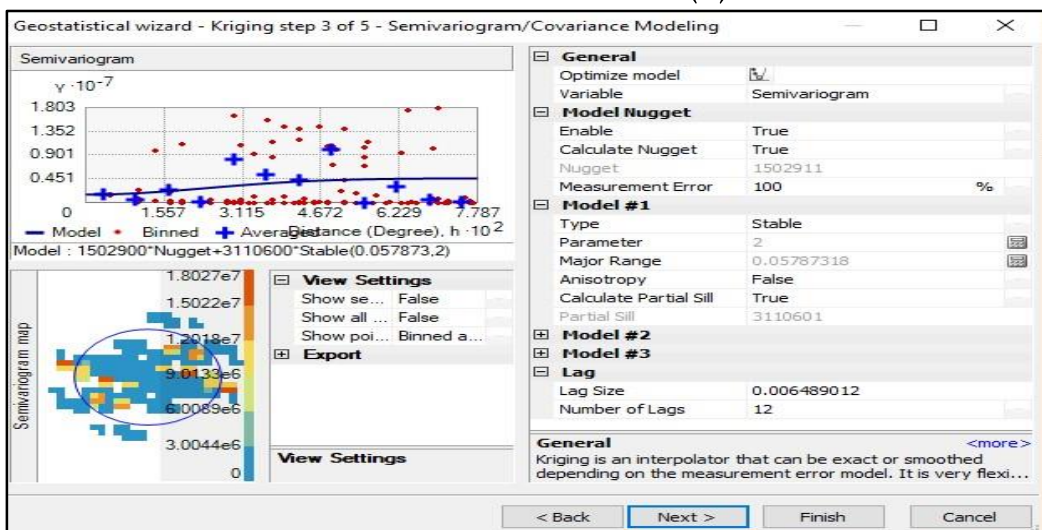
ثم الضغط على Next تظهر لنا نافذة جديدة ثم نختار الطريقة ، كما في الشكل (٣)

### الشكل (٣) اختيار طرق تطبيق خاصية Kringing



ثم نضغط على Next تظهر لنا نافذة جديدة ثم نختار ، الطريقة كما في الشكل (٤)

### الشكل (٤) خصائص تطبيق خاصية Kringing



ثم نضغط على Finish ثم ← Next ← ← Next فنلاحظ ظهور الخريطة تمثل الملوثات بذلك الطريقة وفيما يلي شرح وتطبيق لكافة الطرق الإحصائية باستخدام خاصية Kringing (Anselin, 2005, p15-18) :

#### أولاً : الطريقة الأولى العادي

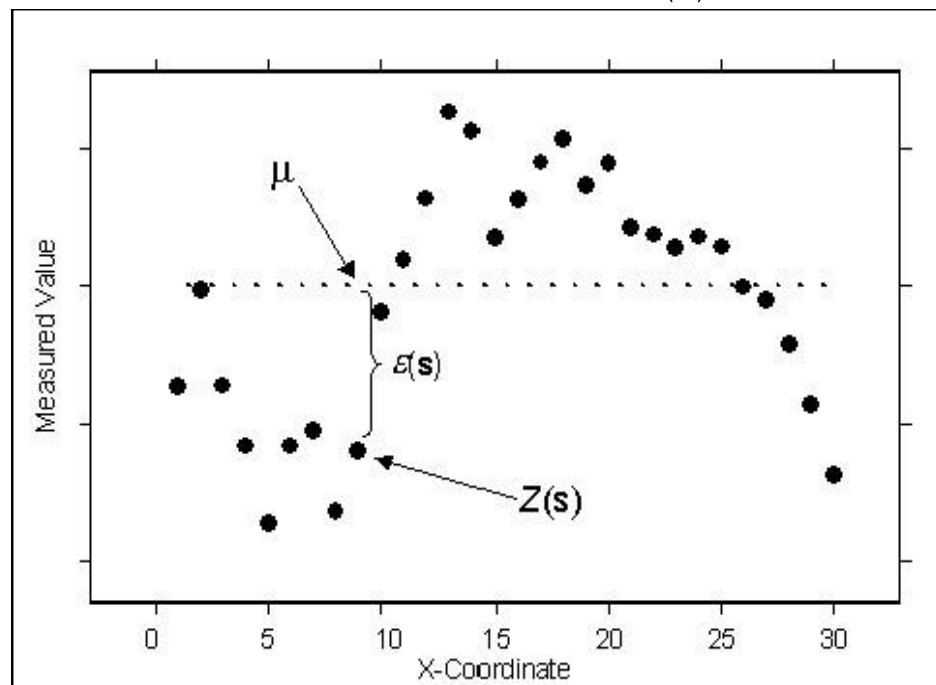
هي أحد الطرق الخاصة بـ Kringing التي تمتلك المرونة الكافية لتمثيل بيانات ثابتة ، إذ تم حاكاة هذه البيانات من نموذج كرينج العادي مع متوسط ثابت ، لكل ما يعاب على هذه الطريقة أنها تستخدم بيانات ثابتة وهناك طرق علمية ترفض صحة تمثيلها ، والشكل والنماذج التالي توضح آلية عمل هذه الطريقة داخل بيئه النظام:

$$Z(S) = \mu + \varepsilon(S)$$

الطريقة البسيطة =  $Z(S)$

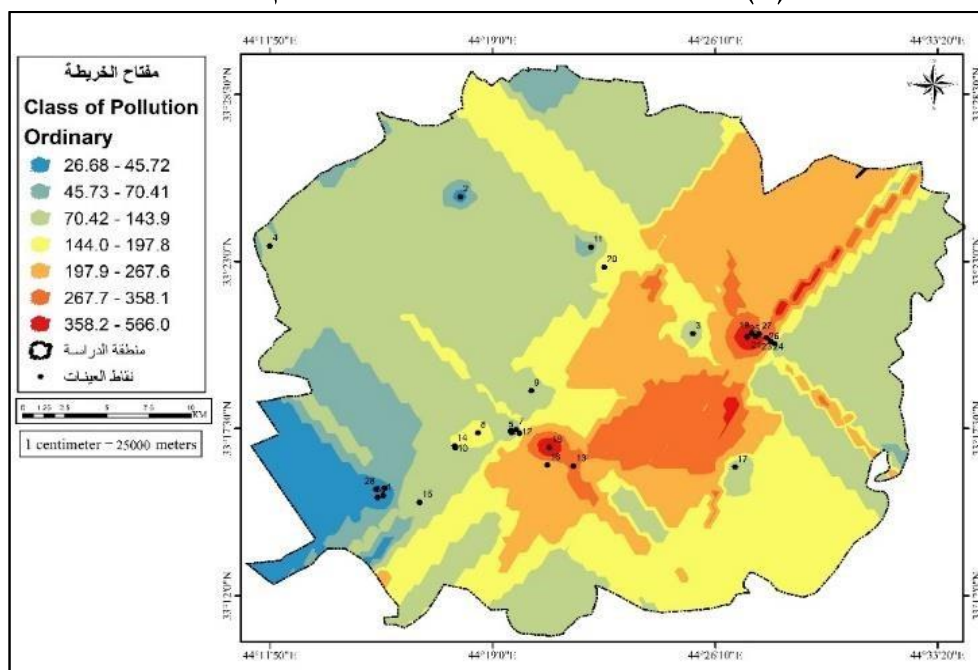
الخط المفترض المتقطع (المعدل) =  $\mu$

مركز النقطة الحقيقية =  $\varepsilon(S)$



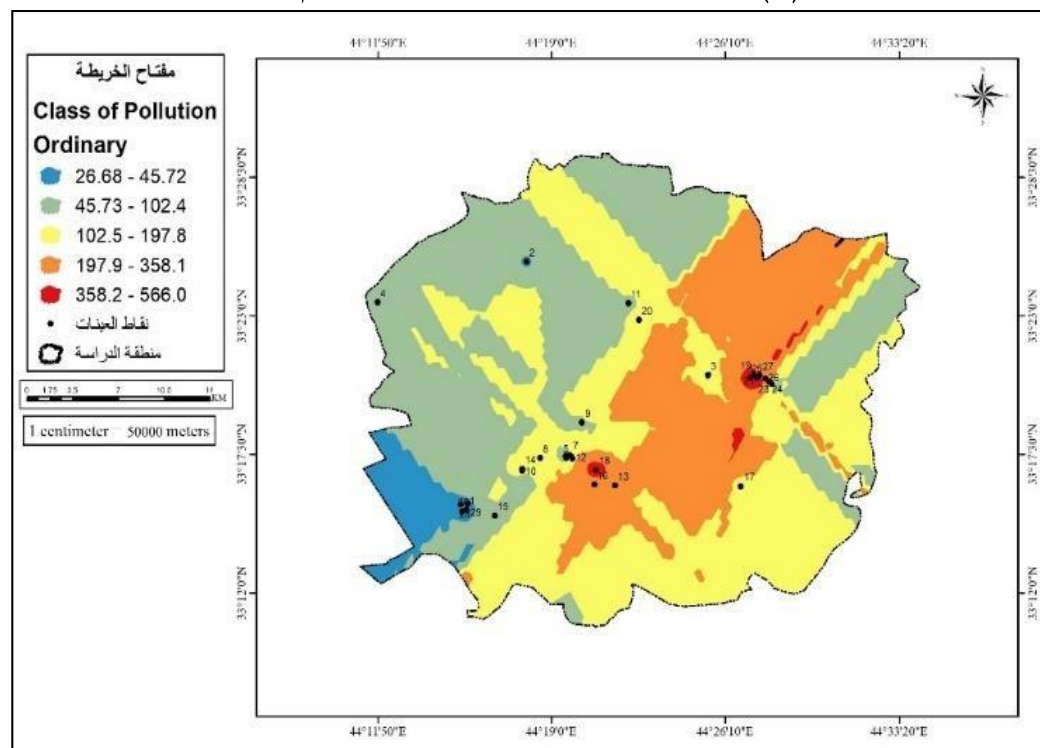
والخرائط (٣-٤-٥) التي توضح مخرجات هذه الطريقة وفق التلوث في مدينة بغداد بثلاث مقاييس .

### خريطة (٣) تمثل طريقة Ordinary بمقاييس رسم 1:25000



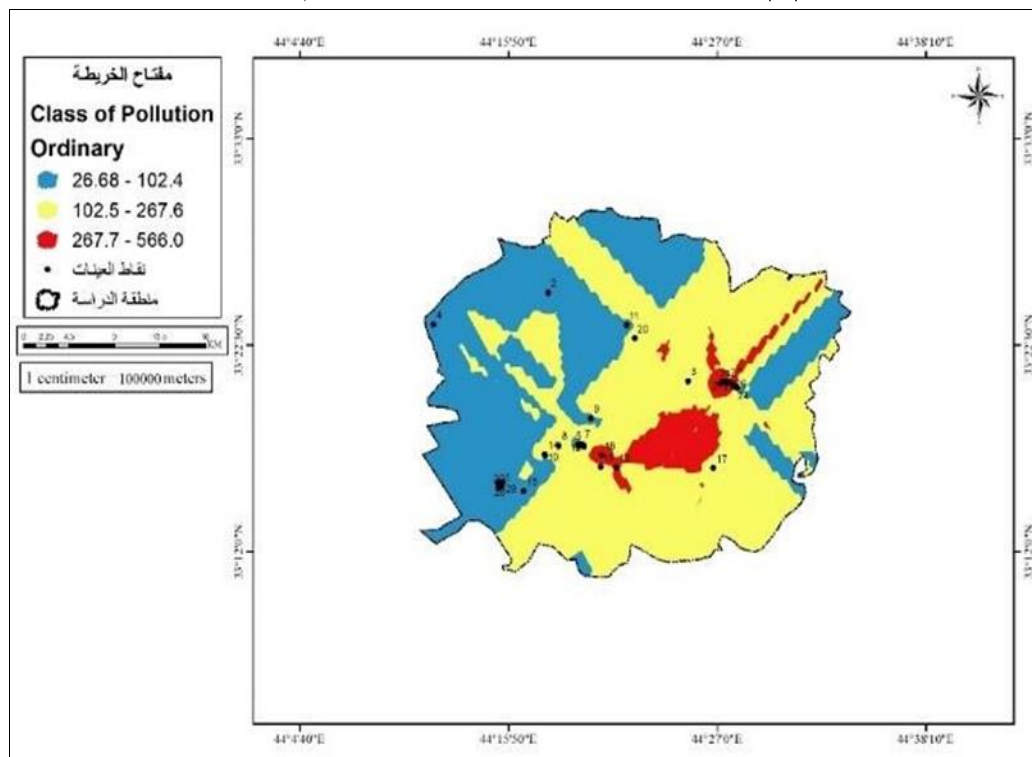
المصدر : اعتماداً على جدول (2) باستخدام طريقة كريكنج الموجود في بيئة برنامج Arc map 10.3

### خريطة (٤) تمثل طريقة Ordinary بمقاييس رسم ١:٥٠٠٠٠



المصدر : اعتماداً على جدول (٢) باستخدام طريقة كريكنج الموجود في بيئة برنامج Arc map .10.3

### خريطة (٥) تمثل طريقة Ordinary بمقاييس رسم ١:١٠٠٠٠٠



المصدر : اعتماداً على جدول (٢) باستخدام طريقة كريكنج الموجود في بيئة برنامج Arc map .10.3

من خلال تطبيق (خاصية Kriring) وبوساطة استخدام الطريقة الأولى التي تسمى بالعادية (Ordinary) لتوضيح التلوث الكبريتى في منطقة الدراسة ، فنلاحظ تدرج الألوان أبتداءً من اللون الأحمر الذي يمثل أعلى نسبة تلوث انتهاءً باللون الأزرق الذي يمثل أقل نسبة تلوث ، والجدول التالي يوضح المقاييس المختلفة وعدد التكرارات داخل الفئة والجدول (٣) يبين ذلك.

**جدول (٣) الآبار والتكرارات الداخلة ضمن كل فئة وفق طريقة ordinary**

٢٥٠٠٠/١		
الفئات	رقم البئر	عدد التكرارات
٤٥,٧٢ - ٢٦,٦٨	٢٨,٣٠, ٢,٢٠ ، ١	٥
٧٠,٤١ - ٤٥,٧٣	٤,٦،١١،٢٩	٤
١٤٣,٩ - ٧٠,٤٢	٣,٩،١٠،١٥،١٧،٢٣	٦
١٩٧,٨ - ١٤٤,٠	٥,٧،١٢،١٤،١٦	٥
٢٦٧,٦ - ١٩٧,٨	٨,٢٠،٢٤	٣
٣٥٨,١ - ٢٦٧,٦	١٣	١
٥٦٦,٠ - ٣٥٨,١	١٩،٢١،٢٢،٢٥،٢٦،١٨	٦
٥٠٠٠/١		
الفئات	رقم البئر	عدد التكرارات
٤٥,٧٢ - ٢٦,٦٥	٢٣,٣٠،١،٢٩،٢	٥
١٠٢,٤ - ٤٥,٧٣	٤،١١،٢٤	٣
١٩٧,٨ - ١٠٢,٥	٣،١٧،١٥،٤،٩،٦،٧،٥	٨
٣٥٨,١ - ١٩٧,٨	٢٠،١٤،١٠،٨	٤
٥٦٦,٠ - ٣٥٨,١	٢٥،٢٧،١٩،٢١،٢٤،٢٨،٢٦،١٨	٨
١٠٠٠٠/١		
الفئات	رقم البئر	عدد التكرارات
١٠٢,٤ - ٢٦,٦٨	١،٢،٣،٤،٦،٩،١٠،١١،١٥،١٧،٢٣،٢٩،٢٨،٣٠	١٤
٢٦٧,٦ - ١٠٢,٥	٨،٥،١٢،١٤،١٦،٢٧	٦
٥٦٦,٠ - ٢٦٧,٧	١٨،١٩،٢٠،٢١،٢٤،٢٥،٢٦،١٣،٨	٩

المصدر : من عمل الباحثة اعتماداً على الطريقة اعلاه

ثانياً : **الطريقة الثانية البسيطة simple** : تفترض هذه البيانات أن المعدل يكون في الوسط ومن ثم تتواءم القيم على جانبي المعدل، وتشابه هذه الطريقة مع الطريقة السابقة إلا أن الاختلاف يكمن في الخطأ القياسي يفترض أن يكون صفرًا، وتبنى هذه الطريقة في برنامج GIS على المعادلة التالية:

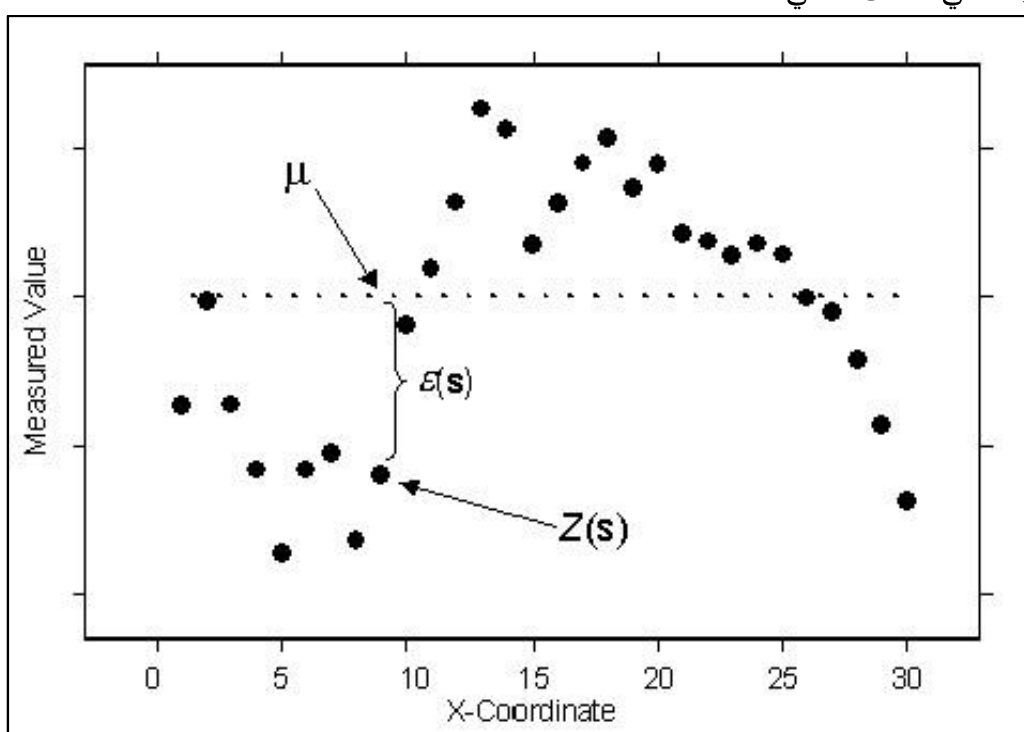
$$Z(s) = \mu + \epsilon(s)$$

الطريقة البسيطة =

الخط المفترض المتقطع (المعدل) =  $\mu$

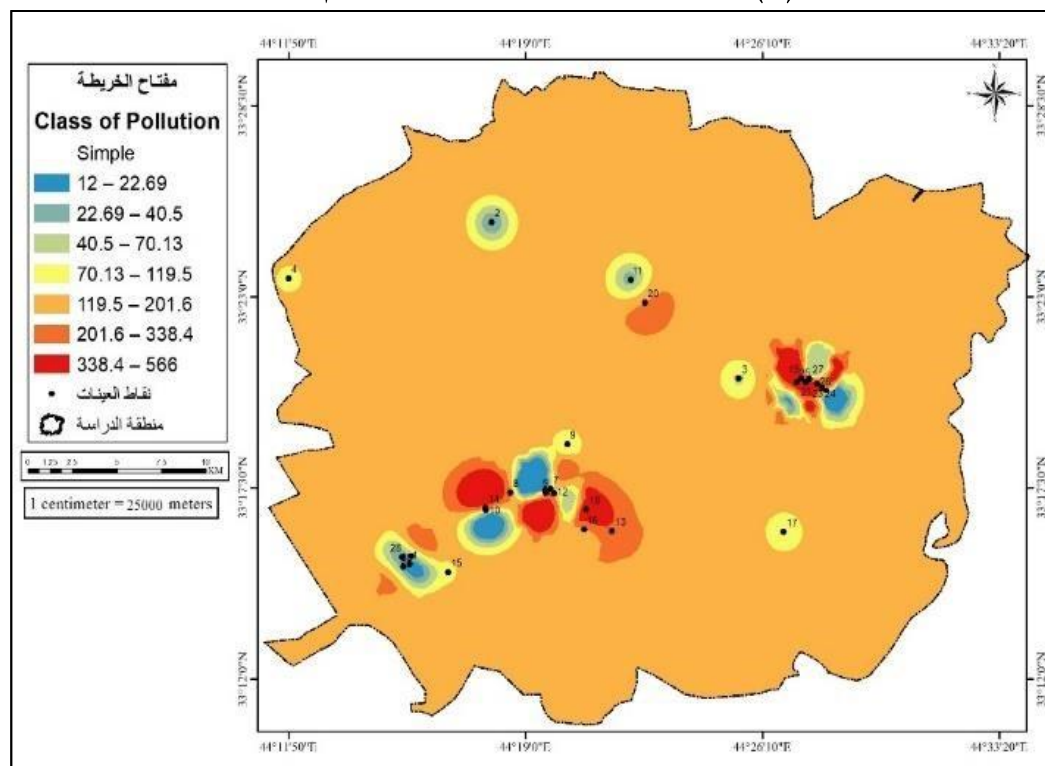
مركز النقطة الحقيقية =  $\epsilon(s)$

وكما في الشكل التالي:



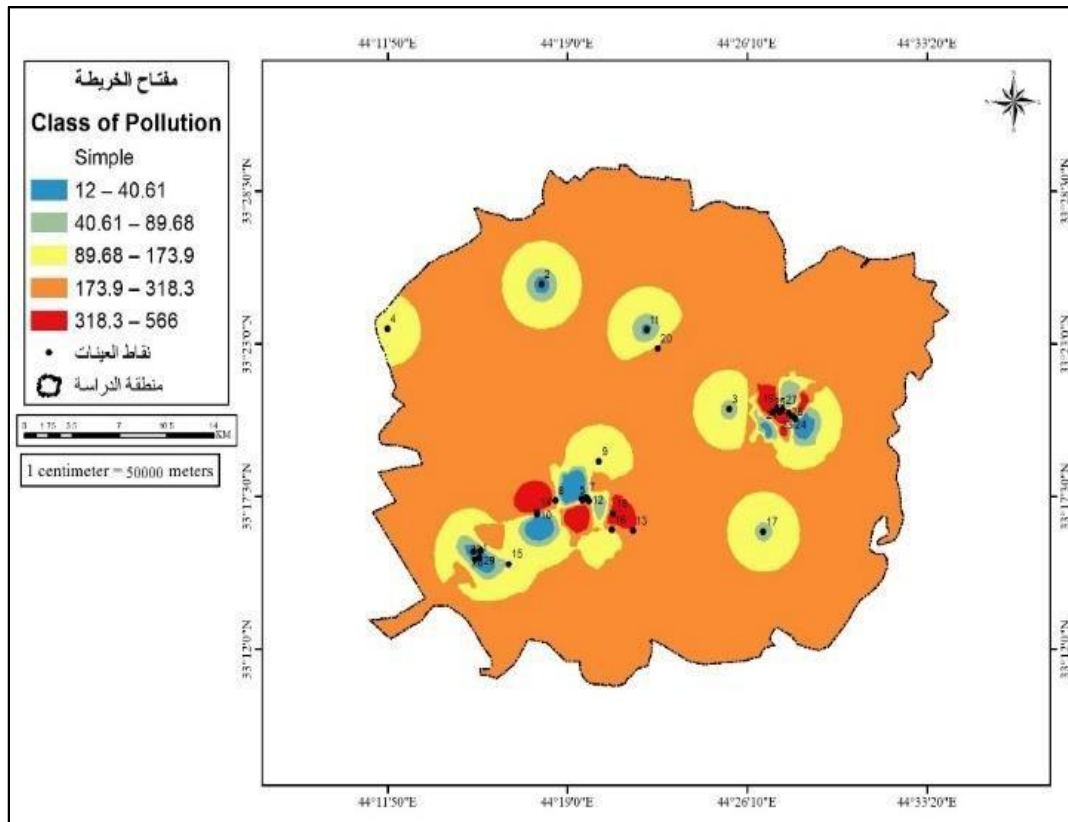
والخرائط (٦، ٧، ٨) توضح آلية تمثيل التلوث في مدينة بغداد وعملياتها من خلال تطبيق (خاصية Kraining) وبوساطة استخدام الطريقة الأولى التي تسمى البسيطة (Simple) لتوضيح التلوث الكبرتي في منطقة الدراسة ، فنلاحظ تركز التمثيل العالي فقط حول منطقة الآبار بشكل دائري وهذا يخضع لتأثير المعدل المفترض للمؤشر، وأيضاً تدرج الألوان أبداً من اللون الأحمر الذي يمثل أعلى نسبة تلوث انتهاءً باللون الأزرق الذي يمثل أقل نسبة تلوث ، وكما في الجدول (٤) الذي يبين ذلك .

### خرطة (٦) تمثل طريقة Simple بمقاييس رسم ١:٢٥٠٠٠



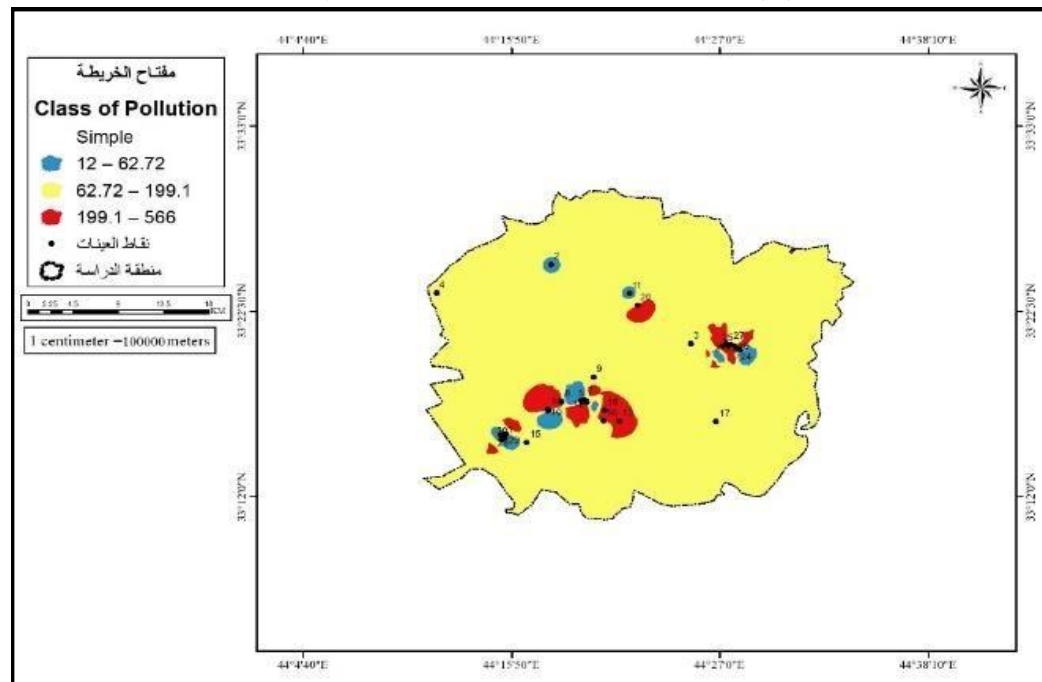
المصدر: اعتماداً على جدول (٢) باستخدام طريقة كريكنج الموجود في بيئة برنامج Arc map .10.3

### خرطة (٧) تمثل طريقة simple بمقاييس رسم ١:٥٠٠٠٠



المصدر: اعتماداً على جدول (٢) باستخدام طريقة كريكنج الموجود في بيئة برنامج Arc map .10.3

## خرطة (٨) تمثل طريقة Simple بمقاييس رسم ١:١٠٠٠٠٠



المصدر: اعتماداً على جدول (٢) باستخدام طريقة كريكنج الموجود في بيئة برنامج Arc map .10.3

**جدول (٤) الآبار والتكرارات الداخلة ضمن كل فئة وفق طريقة Simple**

٢٥٠٠٠/١		
الفئات	رقم البئر	عدد التكرارات
٢٢,٦٩ - ١٢	٢٨,٣٠,٢,١	٤
٤٠,٥ - ٢٢,٦٩	٦,١١,٢٩	٣
٧٠,١٣ - ٥,٤٠	١٧,٢٣,٢٢,٠٣	٤
١١٩,٥ - ٧٠,١٣	٤,٤٥,٧٦,٩٠,١٠,١٥	٦
٢٠١,٦ - ١١٩,٥	٨,١٢,١٤,١٦,٢٧	٥
٣٣٨,٤ - ٢٠١,٦	١,١٣,٢٠,٢٤	٣
٥٦٦ - ٣٣٨,٤	٢٥,٢٦,١٨,٠,١٩,٢١	٥
٥٠٠٠٠/١		
٤٠,٦١ - ١٢	١,٢,٦,١١,٢٨,٢٩,٣٠	٧
٨٩,٥٦ - ٤٠,٦١	٣,٩,١,٠,١٧,٢٣,٢٢	٦
١٧٣,٩ - ٨٩,٥٦	١٦,١٥,٤,٥,٧,١٢	٦
٣١٨,٣ - ١٧٣,٩	٨,١٣,١٤,٢٠,٢٤,٢٧	٦
٥٦٦ - ٣١٨,٣	٢٦,٢٥,١٨,١٩,٢١	٥
١٠٠٠٠٠/١		
٦٢,٧٢ - ١٢	١٧,٢٨,٢٩,٣٠,١,٢,٣,٦١١	٩
١٩٩,١ - ٦٢,٧٢	١٠,٠,٤,٥,٧,٩ ١٢,١٤,١٥,١٦,٢٣,٢٧,٢٢	١٢
٥٦٦ - ١٩٩,١	٨,١٣,١٨,١٩,٢٠,٢١,٢٤,٢٥,٢٦	٩

المصدر : من عمل الباحثة اعتماداً على الطريقة اعلاه .

**ثالثاً : الطريقة الثالثة الدليل Indicator :** يستخدم هذا المؤشر النمط الثنائي في تخمين التمثيل المكاني عندما تكون لديك عينة تتكون من معلومات حول ظاهرة معينة كنقطة لغابة او سكن ، حيث يشير نتائج المتغير الثنائي إلى عضوية الفئة وفي الشكل التالي تم تحويل البيانات إلى قيم ثنائية باستخدام قيم العتبة وتفترض هذه الطريقة النموذج التالي

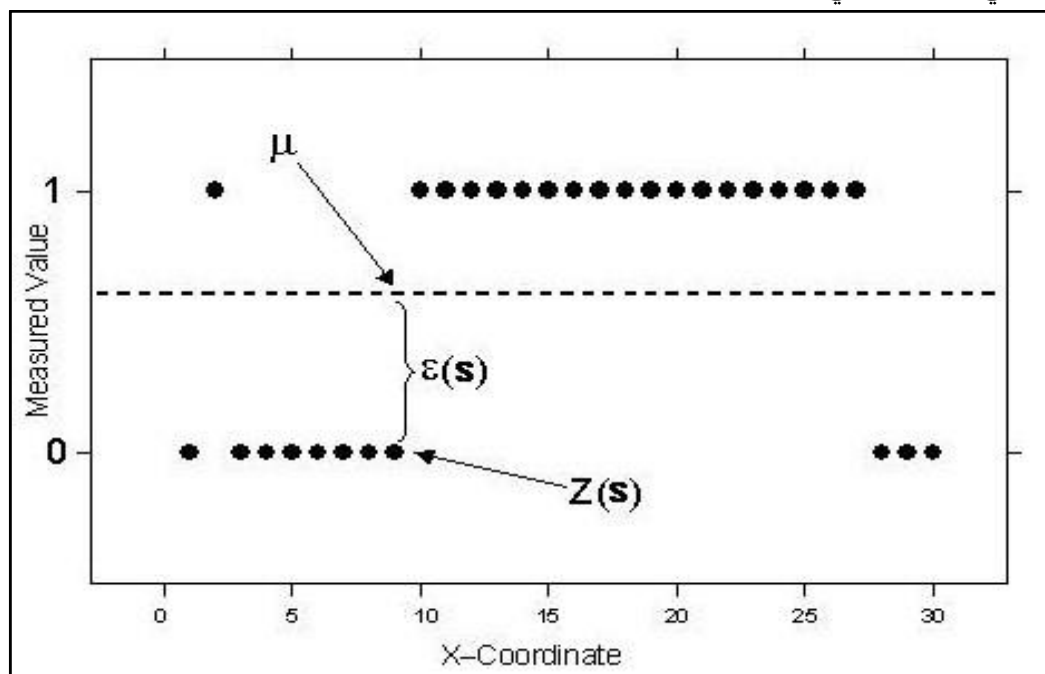
$$\mathbf{I}(\mathbf{s}) = \mu + \varepsilon(\mathbf{s})$$

$$\text{الدليل } \mathbf{I}(\mathbf{s}) = \text{Indicator}$$

$$\text{الخط المفترض المتقطع لجميع المتغيرات } = \mu$$

$$\text{النقطة المثلالية للمنطقة } = \varepsilon(\mathbf{s})$$

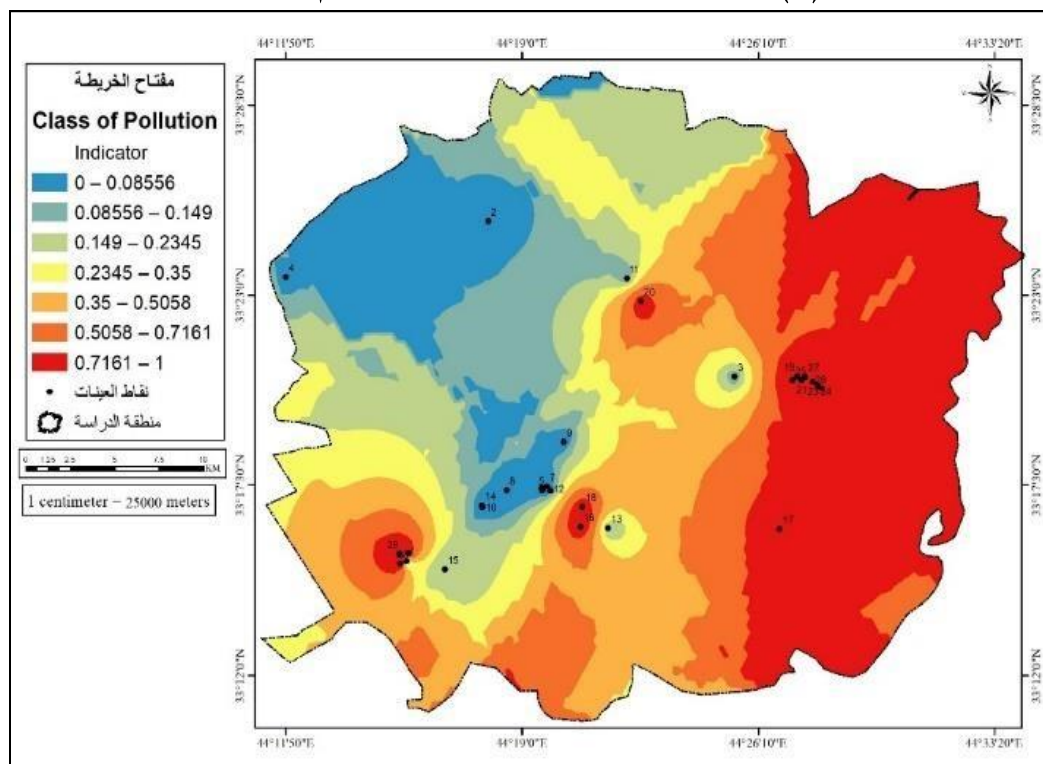
وكما في الشكل التالي :



يلاحظ ان متغيرات المؤشرات تتحصر بين ٠ او ١ ، فإن الاستكمال الداخلي سيكون بين ٠ و ١ ، ويمكن تقسيم التباينات المؤشر ، والخريط (١١-١٠-٩) توضح مخرجات المؤشر وتعتميمها على التلوث في مدينة بغداد .

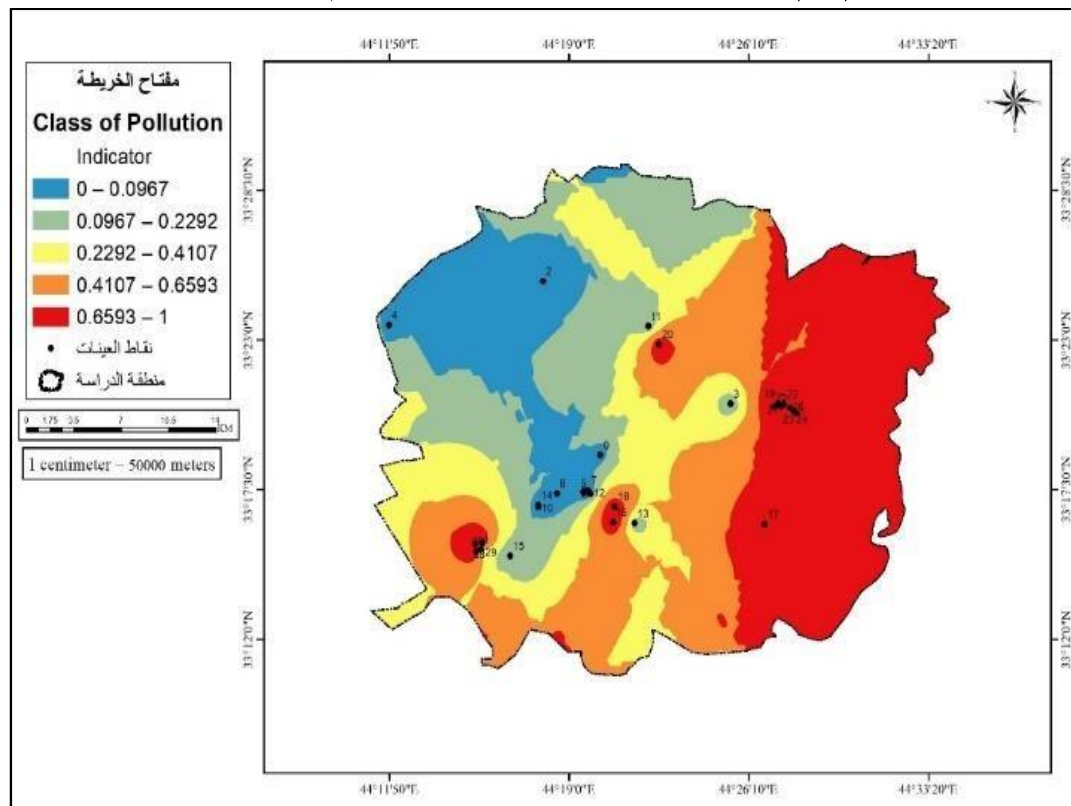
من خلال تطبيق (خاصية Kraining) وبواسطة استخدام الطريقة الأولى التي تسمى المؤشر (Indicator) لتوضيح التلوث الكبرتي في منطقة الدراسة فنلاحظ ارتفاع النسبة الأكثر كثافة في منطقة الدراسة وهذا يعكس تأثير القيم التي تقرب النسب من ١ اضافة إلى تدرج الألوان ابتداء من اللون الأحمر الذي يمثل أعلى نسبة تلوث انتهاءً باللون الأزرق الذي يمثل أقل نسبة تلوث ، وكما في الجدول (٥) الذي يبين ذلك .

### خرطة (٩) تمثل طريقة Indicator بمقياس رسم 1:25000



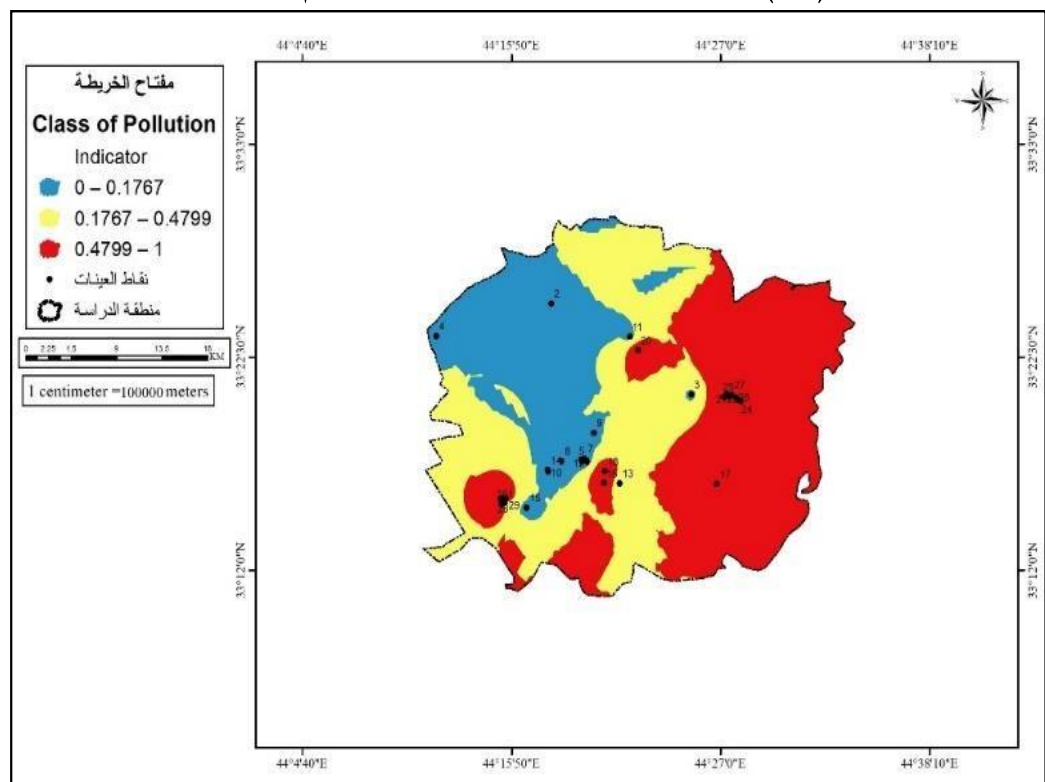
المصدر: اعتماداً على جدول (٢) باستخدام طريقة كرينج الموجود في بيئة برنامج Arc map .10.3

### خرطة (١٠) تمثل طريقة Indicator بمقياس رسم 1: 50000



المصدر: اعتماداً على جدول (٢) باستخدام طريقة كرينج الموجود في بيئة برنامج Arc map .10.3

## خريطة (١١) تمثل طريقة Indicator بمقياس رسم 1: 100000



المصدر: اعتماداً على جدول (٢) باستخدام طريقة كريكنج الموجود في بيئة برنامج Arc map .10.3

### جدول (٥) الآبار والتكرارات الداخلة ضمن كل فئة وفق طريقة Indicator

٢٥٠٠٠/١		
الفئات	الآبار	عدد التكرارات
٠,٠٨٥٦ - ٠	١,٢,٣,٦,٩,١١,١٧,٢٢,٢٣,٢٨,٢٩,٣٠	١٢
- ٠,٨٥٥٦ - ٠,١٤٩	,٤,٥,٧,١٠,١٥,	٥
- ٠,١٤٩ - ٠,٢٣٤٥	١٣,٢٧,٢٠,١٢,١٤,٨,١٦,	٧
٠,٣٥ - ٠,٢٣٤٥	,٢٤	١
٠,٥٠٥٨ - ٠,٣٥	١٩,١٨,٢١,٢٥,٢٦	٥
- ٠,٥٠٥٨ - ٠,٧١٦١		
١ - ٠,٧١٦١		
٥٠٠٠٠/١		
٠,٠٩٦ - ٠	١,٢,٣,٤,٦,٩,١٠,١١,١٧,٢٣,٢٢,٢٨,٢٩,٣٠	١٤
- ٠,٠٩٦٧ - ٠,٢٢٩٢	٥,٧,٨,١٢,١٤,١٥,١٦,٢٠,٢٤,٢٧	١٠
- ٠,٢٢٩٢	,١٣	١

٠,٤١٠٧		
- ٠,٤١٠٧	١٨,١٩,٢١,٢٥,٢٦	٥
٠,٦٥٩٣		
١ - ٠,٦٥٩٣		
	١٠٠٠٠١	
٠,١٧٦٧ - ٠	١,٢,٣,٤,٥,٦,٧,٩,١٠,١١,١٢,١٥,١٦,١٧,٢٣,٢٨, ٢٩,٣٠,٢٢	١٩
- ١٧٦٧ - ٠	٨,١٣,١٤,٢٠,٢١,٢٤,٢٧	٧
٠٤٧٩٩		
١ - ٠,٤٧٩٩	١٨,١٩,٢٥,٢٦	٤

المصدر : من عمل الباحثة اعتماداً على الطريقة اعلاه .

رابعاً : **الطريقة الرابعة العامة Universal**: هي احدى الطرق التي تعتمد على النمط العشوائي في التمثيل ، إذ تفترض خط عشوائي منحنى يمتد لمسافة طويلة ، وكما في النموذج التالي .

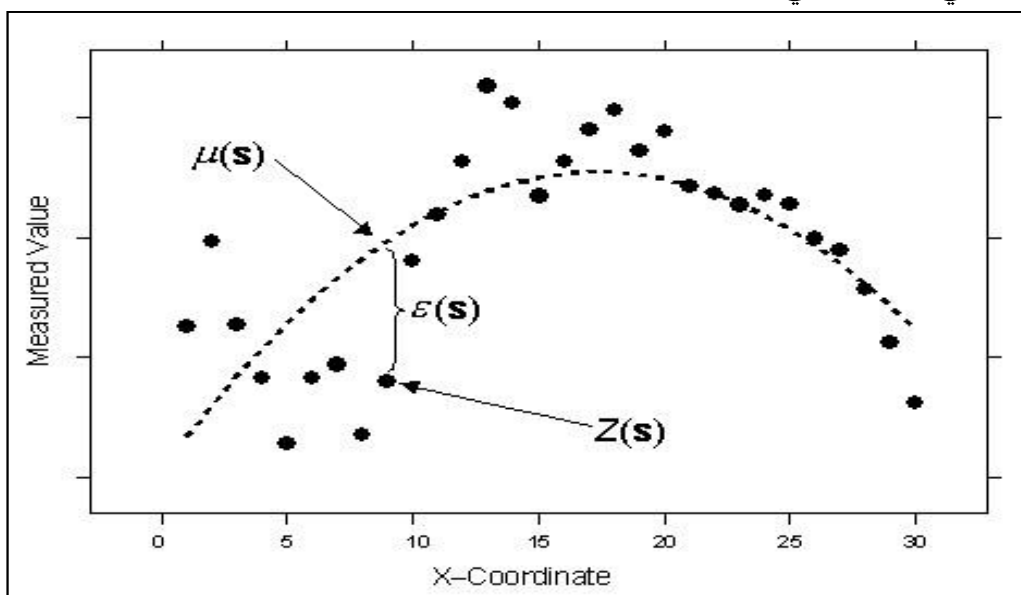
$$Z(s) = \mu(s) + \varepsilon(s)$$

العامة Universal

الخط المتقطع المنحنى =  $\mu(s)$

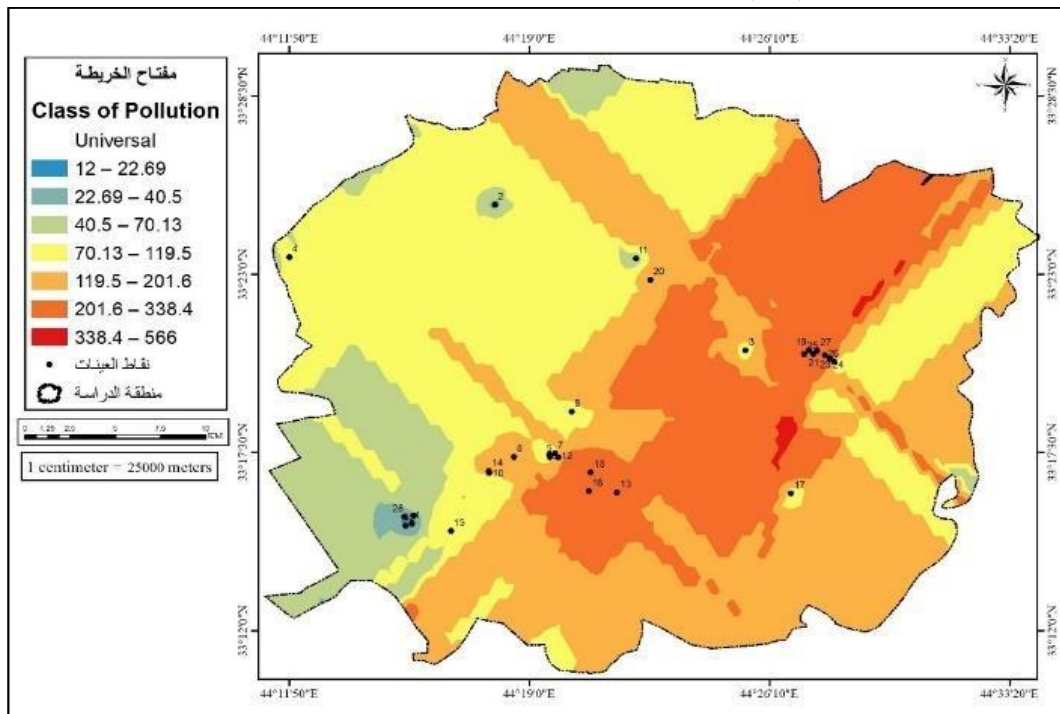
منطقة الوسط المثالي =  $\varepsilon(s)$

وكما في الشكل التالي :



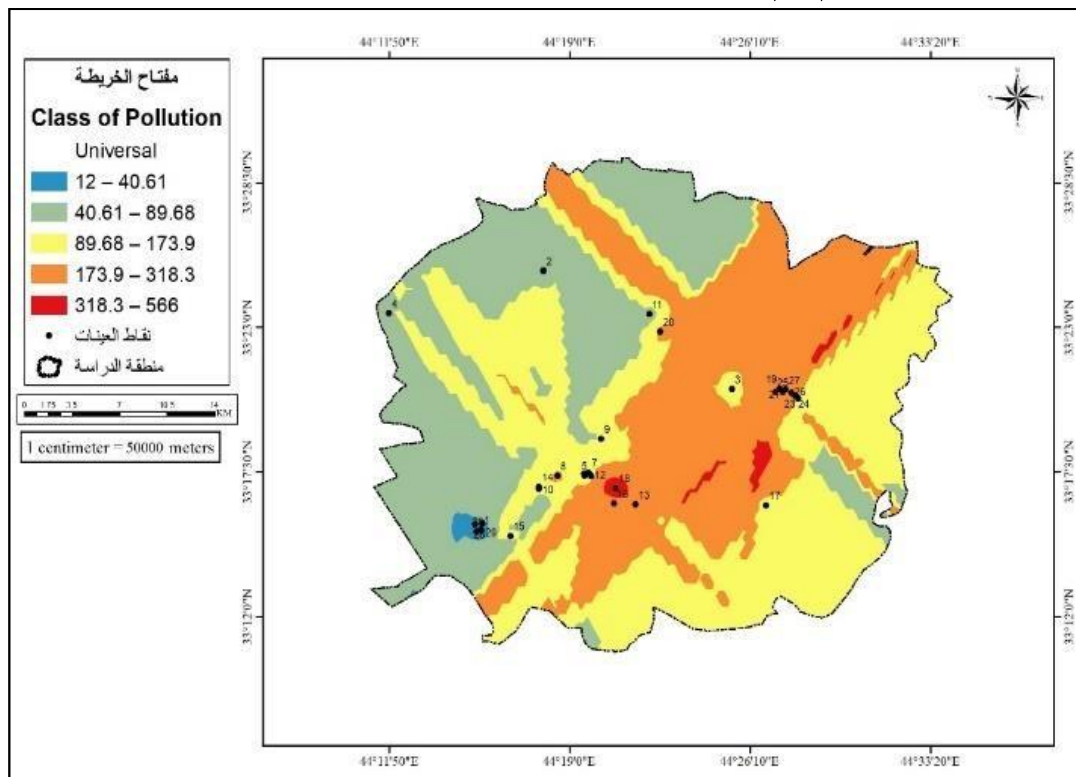
والخرائط (١٢ ، ١٣ ، ١٤) توضح مخرجات المؤشر وعميمها على التلوث في مدينة بغداد

## خرطة (١٢) تمثل طريقة Universal بمقاييس ١:٢٥٠٠٠



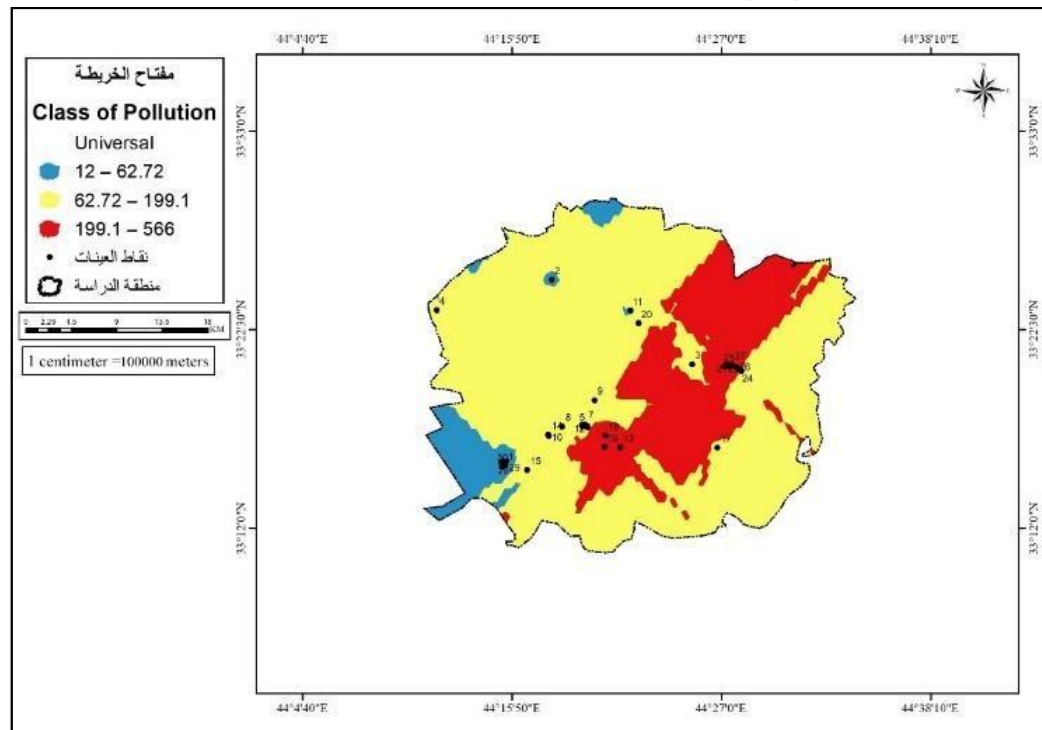
المصدر: اعتماداً على جدول (٢) باستخدام طريقة كريكنج الموجود في بيئة برنامج Arc map .10.3

## خرطة (١٣) تمثل طريقة Universal بمقاييس ١: ٥٠٠٠٠



المصدر: اعتماداً على جدول (٢) باستخدام طريقة كريكنج الموجود في بيئة برنامج Arc map .10.3

## خرطة (١٤) تمثل طريقة Universal بمقاييس 1: 100000



المصدر: اعتماداً على جدول (٢) باستخدام طريقة كرينج الموجود في بيئة برنامج Arc map .10.3

من خلال تطبيق (خاصية Kringing) وبوساطة استخدام الطريقة الأولى التي تسمى العامة (Universal) لتوضيح التلوث الكبريتى في منطقة الدراسة فنلاحظ امتداد التأثير بشكل طولي على امتداد الآبار وهذا يعكس نمط الخط المفترض (المنحنى) وهي تشابه الطريقة العادية ، فضلاً عن تدرج الألوان أبتداءً من اللون الأحمر الذي يمثل أعلى نسبة تلوث انتهاءً باللون الأزرق الذي يمثل أقل نسبة تلوث ، وكما في الجدول (٦) الذي يبين ذلك .

**جدول (٦) الآبار والتكرارات الدالة ضمن كل فئة وفق طريقة Universal**

٢٥٠٠٠/١		
الفئات	الآبار	التكرارات
٢٢,٦٩ - ١٢	١,٢,٢,٢٨,٣٠	٤
٤٠,٥ - ٢٢,٦٩	٦,١١,٢٩	٣
٧٠,١٣ - ٤٠,٥	٣,١٧,٢٣,٢٢	٤
١١٩,٥ - ٧٠,١٣	٤,٥,٧,٩,١٠,١٥	٦
٢٠١,٦ - ١١٩,٥	٨,١٢,١٤,١٦,٢٧	٥
٣٣٨,٤ - ٢٠١,٦	١٣,٢٠,٢٤	٣
٥٦٦ - ٣٣٨,٤	١٨,١٩,٢١,٢٥,٢٦	٥
٥٠٠٠٠/١		
٤٠,٦١ - ١٢	١,٢,٦,١١,٢٨,٢٩,٣٠	٧
٨٩,٦٨ - ٤٠,٦١	١,٠,١٧-٣,١٧,٢٣,٢٢,٩	٧

١٧٣,٩ - ٦٨ - ٨٩	٤,٥,٧,١٢,١٥,١٦	٦
٣١٨,٣ - ١٧٣,٩	٨,١٣,١٤,٢٠,٢٤	٥
٥٦٦ - ٣١٨,٣	١٨,١٩,٢١,٢٥,٢٦	٥
10000/1		
٦٢,٧٢ - ١٢	١,٢,٣,٦,١١,١٧,٢٨,٢٩,٣٠	٩
١٩٩,١ - ٦٢,٧٢	٤,٥,٧,٩,١٠,١٢,١٤,١٥,١٦,٢٢,٢٣,٢٧	١٢
٥٦٦ - ١٩٩,١	٨,١٨,١٩,٢٠,٢١,٢٤,٢٥,٢٦,١٣	٩

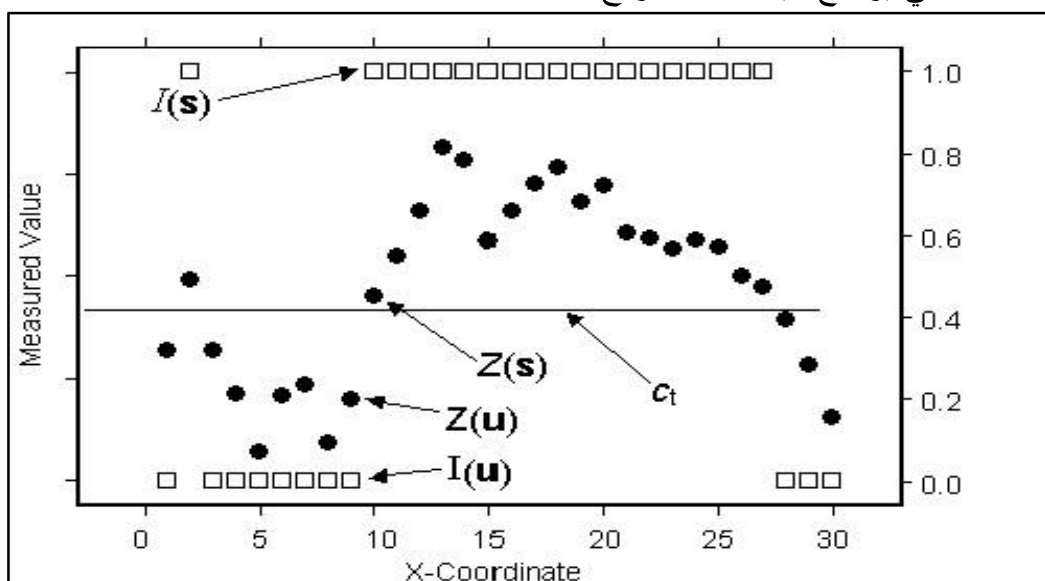
المصدر : من عمل الباحثة اعتماداً على الطريقة اعلاه .

خامساً: الطريقة الخامسة التي تسمى الاحتمالية **Probability** : هي أحد الطرق التي تتضمن تقدير الارتباط الذاتي لكل متغير فضلاً عن ترابطها المتبادل في الطرق السابقة يقوم بتقدير الارتباط بشكل عشوائي اما في هذه الطريقة يمكن ادخال اليقين إلى طريقة الارتباط ، ولا يستحق جهد اضافي في التمثيل لأنها تتم داخلياً في برنامج GIS . والنموذج التالي يوضح آلية عمل هذه الطريقة في برنامج GIS .

$$I(s) = I(Z(s) > ct) = \mu_1 + \varepsilon_1(s)$$

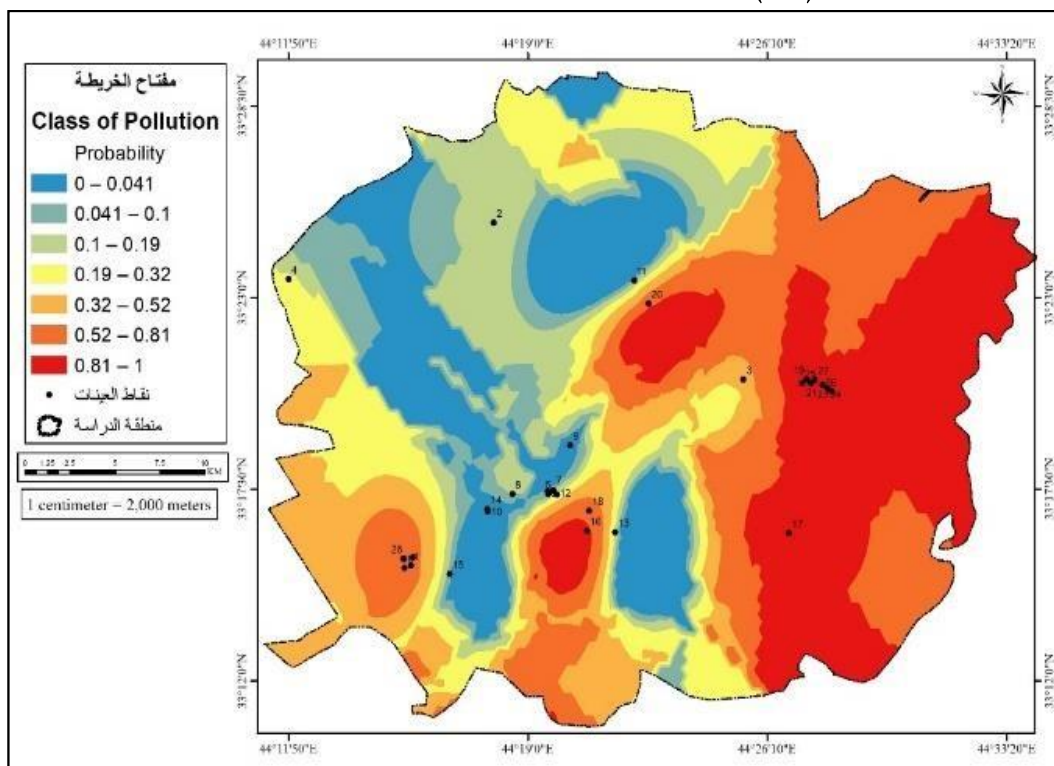
$$Z(s) = \mu_2 + \varepsilon_2(s)$$

والشكل التالي يوضح آلية عمل النموذج :



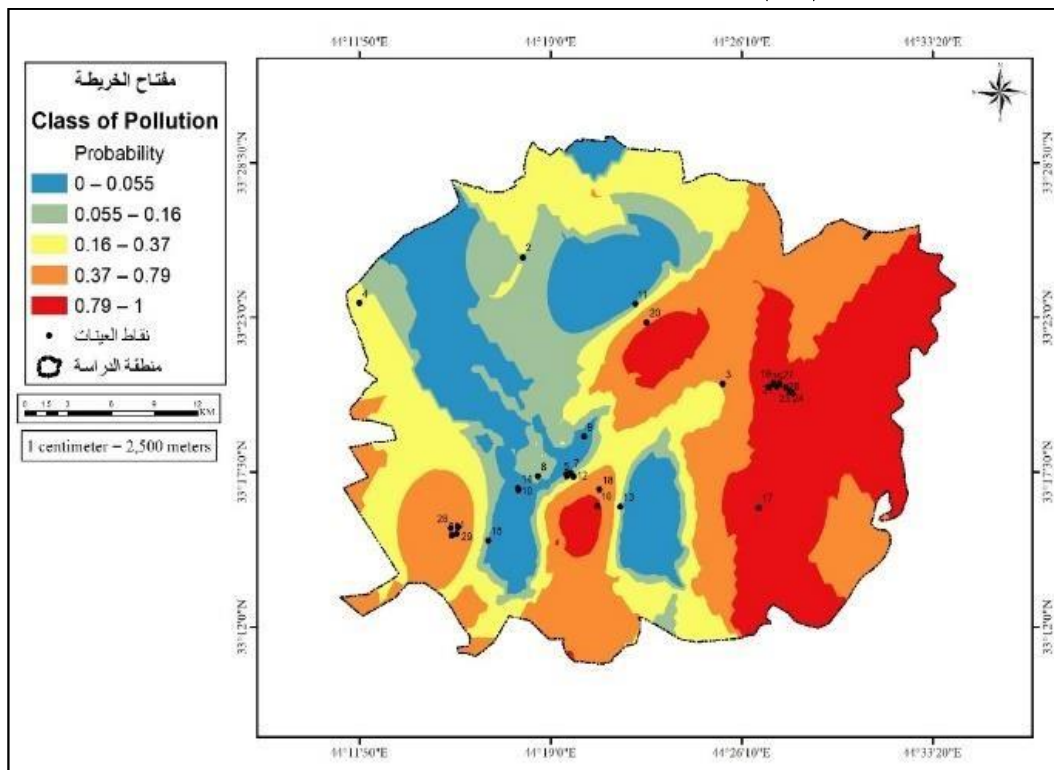
يلاحظ من النموذج والشكل أعلاه أن خط الوسط يكون عند 0.5 لذا يجب أن تكون قيم الارتباط بين البيانات أكبر من 0.5 كي يكون التمثيل أكثر واقعية ، لذا نرى أن قيم الفئات تتحصر بأقل من 1 ، والخراط (١٥ ، ١٦ ، ١٧) توضح نتائج التطبيق وتع咪ها .

### خرطة (١٥) تمثل طريقة Probability بمقاييس 1:25000



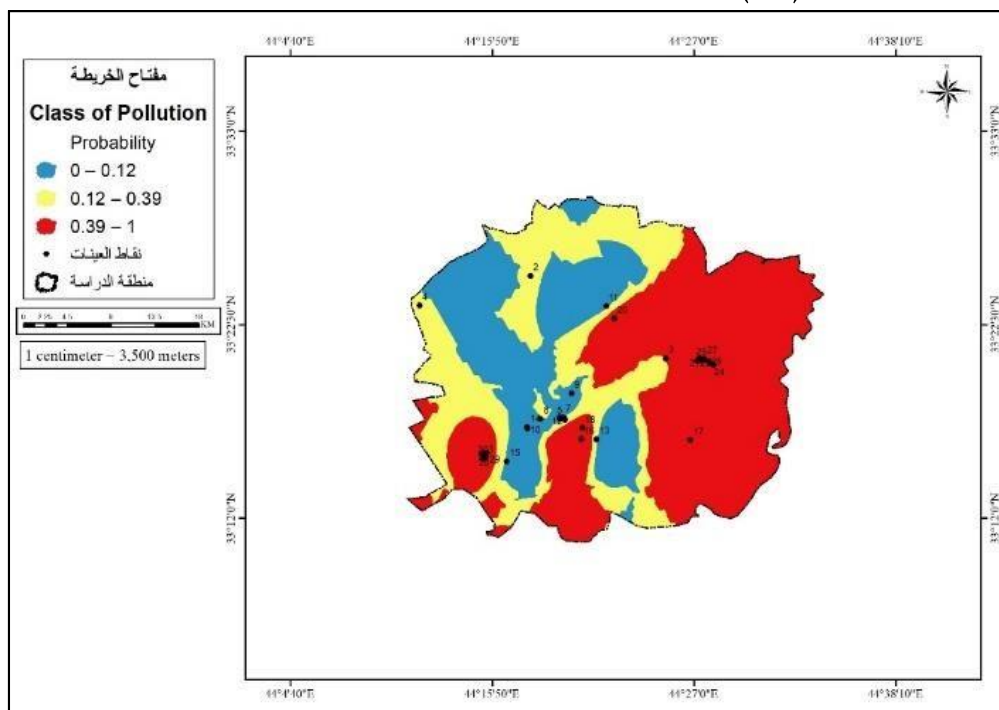
المصدر: اعتماداً على جدول (٢) باستخدام طريقة كريكنج الموجود في بيئة برنامج Arc map .10.3

### خرطة (١٦) تمثل طريقة Probability بمقاييس 1:50000



المصدر: اعتماداً على جدول (٢) باستخدام طريقة كريكنج الموجود في بيئة برنامج Arc map .10.3

## خرائط (١٧) تمثل طريقة Probability بمقاييس 1: 100000



المصدر: اعتماداً على جدول (٢) باستخدام طريقة كرينج الموجود في بيئة برنامج Arc map .10.3

من خلال تطبيق (خاصية Kringing) وبوساطة استخدام الطريقة الأولى التي تسمى الاحتمالية Probability لتوضيح التلوث الكبيري في منطقة الدراسة فنلاحظ الفئة الأكثر كثافة وهذا يرجع إلى أن الارتباط يكون كبيراً في هذه البيانات، وأيضاً تدرج الألوان أبتداءً من اللون الأحمر الذي يمثل أعلى نسبة تلوث انتهاءً باللون الأزرق الذي يمثل أقل نسبة تلوث ، وكما في الجدول (٧) الذي يبين ذلك .

**جدول (٧) الآبار والتكرارات الداخلة ضمن كل فئة وفق طريقة Probability**

٢٥٠٠٠/١		
الفئات	الآبار	التكرارات
٠,٠٤١- ٠	١,٢,٦,١١,٢٨,٢٩,٣٠	
٠,١- ٠,٠٤١		
٠,١٩- ٠,١		
٠,٣٢- ٠,١٩		
٠,٥٢- ٠,٣٢		
٠,٨١- ٠,٥٢		
١- ٠,٨١		
٥٠٠٠٠/١		
٠,٠٥٥- ٠	١,٢,٦,١١,٢٨,٢٩,٣٠	٧
٠,١٦- ٠,٠٥٥	٣,٤,٥,٧,٩,١٢,١٥,١٧٢٣,١٠,٢٢	١١
٠,٣٧- ٠,١٦	٨,١٣,١٤,١٦,٢٤,٢٧,٢٠	٧
٠,٧٩- ٠,٣٧	١٨,١٩,٢١,٢٥,٢٦	٥
١- ٠,٧٩		

الفئات	الإبار	التكرارات
٠،١٢-	١،٢،٦،١١،٢٩ ٣،٤،٥،٧،٩،١٠،١٥،١٧،٢٣،٢٨،٣٠،٢٢،	١٧
٠،٣٩-	٨،١٢،١٣،١٤،١٦،٢٠،٢٤،٢٧	٨
١- ٠،٣٩	١٨،١٩،٢١٢٥،٢٦	٥

المصدر : من عمل الباحثة اعتماداً على الطريقة أعلاه .

سادساً : **الطريقة السادسة الاستدراكيّة Disjunctive** : في هذه الطريقة يجبأخذ نقاط عينات من البيانات لظاهرة مستمرة التغيير ولها توزيع طبيعي شائي ، إذ تقوم الطريقة بتتبؤ التمثيل والافتراضات التي يطرحها هذا المؤشر يصعب التحقق منها ، والحلول معقدة رياضياً وحسابياً ، ويمكن حسابها آلياً اعتماداً على النموذج التالي :

$$f(Z(s)) = \mu_1 + \varepsilon(s)$$

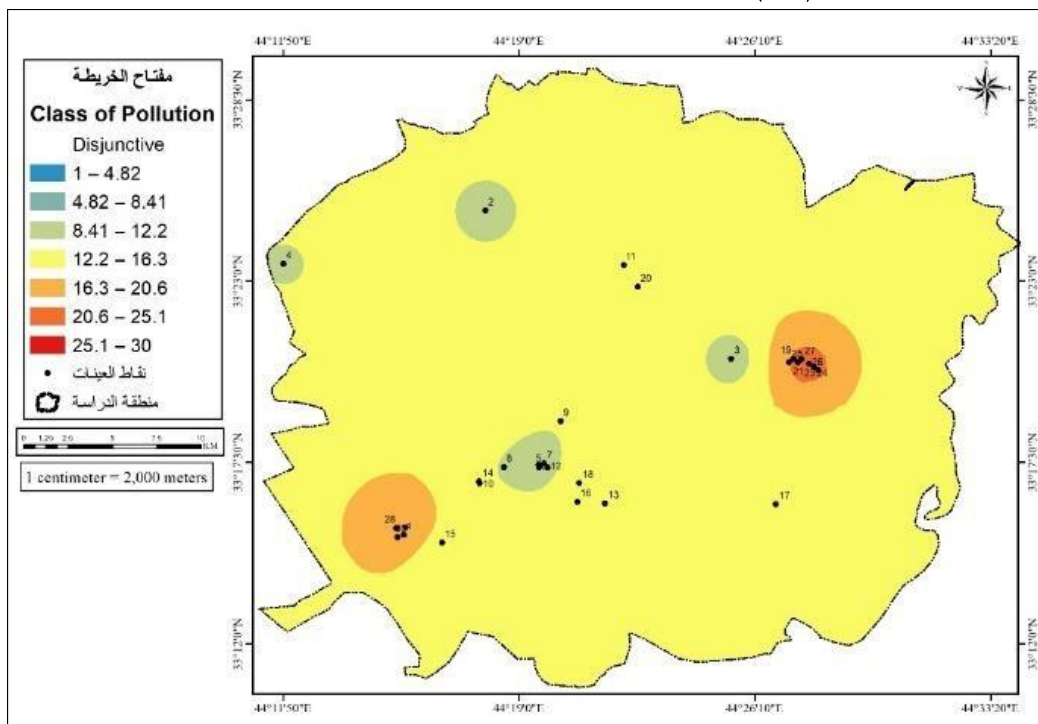
وظيفة المؤشر =  $f(Z(s))$

قيم تنبؤيه =  $\mu_1$

حالة خاصة من كريكنج  $= \varepsilon(s)$

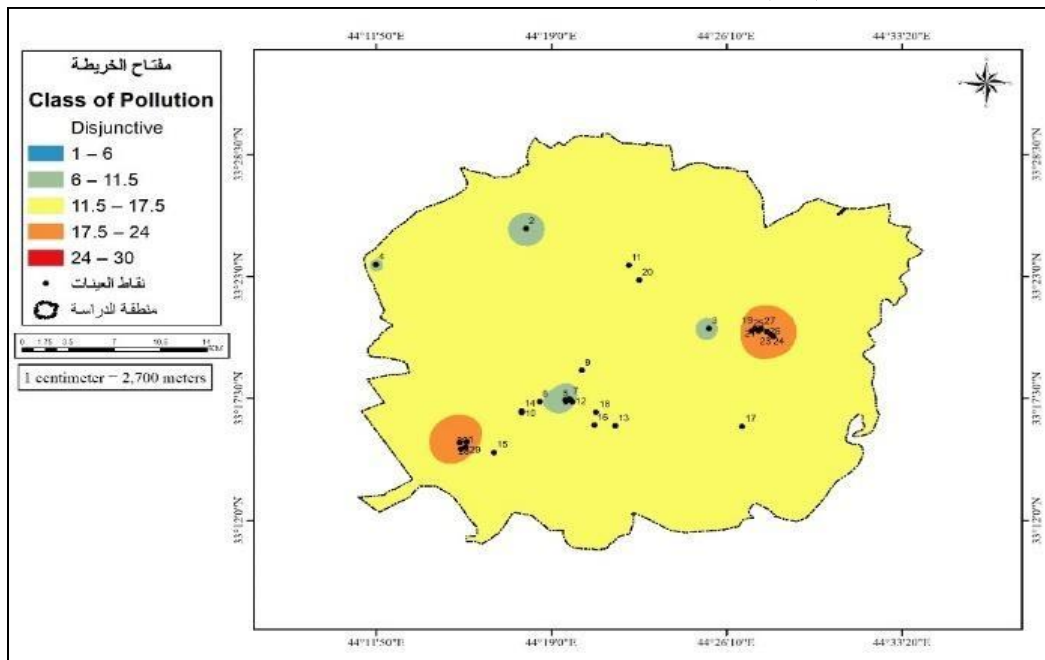
ولم يتوفّر في المصادر شكل يوضح طريقة عمل هذا المؤشر ، والخرائط (٢٠،١٨،١٩) توضّح مخرجات هذا المؤشر وتعوييمها .

### خريطة (١٨) تمثل طريقة Disjunctive بمقاييس 1:25000



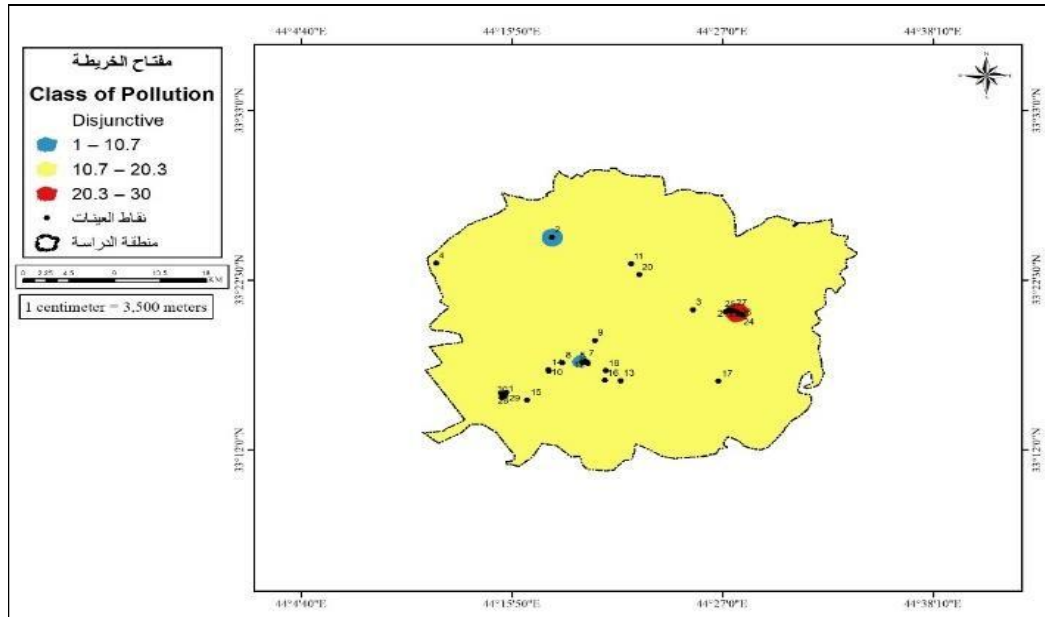
المصدر: اعتماداً على جدول (٢) باستخدام طريقة كريكنج الموجود في بيئة برنامج Arc map . 10.3

## خريطة (١٩) تمثل طريقة Disjunctive بمقاييس ١: ٥٠٠٠٠



المصدر: اعتماداً على جدول (٢) باستخدام طريقة كرينج الموجود في بيئة برنامج Arc map .10.3

## خريطة (٢٠) تمثل طريقة Disjunctive بمقاييس ١: ١٠٠٠٠٠



المصدر: اعتماداً على جدول (٢) باستخدام طريقة كرينج الموجود في بيئة برنامج Arc map .10.3

من خلال تطبيق (خاصية Kringing) وبوساطة استخدام الطريقة الأولى التي تسمى الاستدراكية Disjunctive لتوضيح التلوث الكبرتي في منطقة الدراسة فنلاحظ أن اغلب الفئات تكون خالية من التمثيل وهذا يمكن ارجاعه إلى الافتراضات والاحتماليات التي يتركها المؤشر على سطح الخريطة اعتماداً على المعادلة الموجودة في بيئة النظام ، وأيضاً تدرج الألوان أبداً من اللون الأحمر

الذي يمثل أعلى نسبة تلوث انتهاءً باللون الأزرق الذي يمثل أقل نسبة تلوث، وكما في الجدول (٨) الذي يبين ذلك .

**جدول (٨) الآبار والتكرارات الداخلة ضمن كل فئة وفق طريقة Disjunctive**

٢٥٠٠٠/١		
الفئات	الآبار	التكرارات
١ - ٨,٤١	١,٢,٣,٦,٩,١٠,١٢,١٧,٢٣,٢٢,٢٨,٢٩,٣٠	١٣
٨,٤١ - ٤,٨٢	١٨,١٩,٢١,٢٥٢٦	٥
١٢,٢ - ٨,٤١		
١٦,٣ - ١٢,٢	١٢	١
٢٠,٦ - ١٦,٣	١٤١٦	٢
٢٥,١ - ٢٠,٦	٨,٢٠,٢٤	٣
٣٠ - ٢٥,١	١٣,٦	١
٥٠٠٠/١		
٦ - ١	١,٢,٦,١١,٢٨,٢٩,٣٠	٧
١١,٥ - ٦	٣,٤,٥,٧,٩,١٠,١٥,١٧,٢٣٢٢	١٠
١٧,٥ - ١١,٥	١٢,١٦	٢
٢٤ - ١٧,٥	٨,١٤,٢٠,٢٤,٢٧	٥
٣٠ - ٢٤	١٣١٨,١٩,٢١,٢٥٢٦	٦
١٠٠٠٠/١		
١٠,٧ - ١	١,٢,٣,٤,٦,٧,٩,١٠,١١,١٥,١٧,٢٣,٢٢,٢٨,٢٩,٣٠	١٦
٢٠,٣ - ١٠,٧	٥,٨,١٢,١٤,١٦,٢٧	٦
٣٠ - ٢٠,٣	١٨,١٩,٢٠,٢١,٢٤,٢٥,٢٦,١٣	٨

المصدر : من عمل الباحثة اعتماداً على الطريقة أعلاه.

نستنتج مما سبق من خلال مؤشرات الطرق الستة (الخاصة Krining) في بناء نماذج والمقارنة بين هذه الطرق فيما بينها ، أن النماذج بالمقاييس الثلاثة ١/٢٥٠٠٠ و ١/٥٠٠٠ و ١/١٠٠٠ المتولدة بالطريقة الأولى العادية Ordinary ، فنجد إن أعلى نسبة للتلوث الكبريتي  $SO_2$  في المناطق (الدورة ، الكرادة ، بغداد الجديدة ، الغدير ) وأقلها في (الرشيد ، جنوب المنصور) ، واما الطريقة الثانية البسيطة Simple فكانت النتائج على ثلاثة مقاييس اعلاه حول مناطق الآبار وبشكل دائري ، فيظهر أعلى تلوث حول الآبار الواقعة شمال الدورة والرشيد ، وأقلها في جنوب المنصور ، وعند ملاحظة تطبيق الطريقة الثالثة الدليل Indicator التي تستخدم النمط الثنائي في تخمين التمثيل المكاني ، يظهر أعلى نسبة للتلوث الكبريتي في مدينة الصدر الأولى والثانية والغدير وبغداد الجديدة ، وأقلها في الشعلة والكافازمية ، ومن الملاحظ عن تطبيق الطريقة الرابعة العامة universal والتي تعتمد على النمط العشوائي ، يظهر أعلى التلوث الكبريتي في منطقة شمال الكرادة والصدر الأولى والثانية وشمال الدورة وأقلها في وسط منطقة الرشيد وبدرجات اللونية من الأزرق إلى الأحمر ، وعند تطبيق الطريقة الخامسة الاحتمالية probability ، فإن أعلى تلوث يظهر في بغداد الجديدة والغدير والصدر الأولى والثانية والكرادة وشرق الدورة والرصافة ، وأقلها في

الأعظمية والشعلة وشرق الرشيد ووسط الدورة ، وأخيراً عند تطبيق الطريقة السادسة الاستدراكية Disjunctive نجد أن التلوث يظهر بشكل دائري أيضاً ، أعلاه في منطقة الغدير وغرب الرشيد ، واقلها في وسط الشعلة .

فهذا يدل أن المياه الجوفية في مدينة بغداد ملوثة ٧٥% بالتلوك الكربوني والتي تخلق مشكلات صحية ومشكلات بيئية تتطلب اجراء معالجات لتلك المياه بالوسائل التي تؤدي إلى الحد من هذا التلوث او التقليل من استخدامها قدر المستطاع وخاصة لأغراض الشرب والاستخدامات الأخرى ، وأخيراً يمكن بناء قاعدة بيانات مكانية لمصادر التلوث المياه الجوفية (التلوث الكربوني CO<sub>2</sub>) باستخدام برمجيات نظم المعلومات الجغرافية GIS وخاصة عند تشغيل برنامج Arc Map الذي يتمتع بخصائص تصميم قاعدة البيانات وتحليل المعلومات المكانية والوصفية من خلال أشرطة أدوات متعددة أهمها Tool box ورسم طبقاتها بالمقاييس الثلاثة المذكورة وبأنماطها التوقيعية (النقطية والخطية والمساحية والحجمية) وباستخدام الرمز التعريفي (ID) لكل طبقة وادخالها ضمن قاعدة البيانات ، بالإضافة إلى تحديد نطاق التأثير Buffering ( لكل بئر من آبار المياه الجوفية لمسافة ٣٠٠-٢٠٠ متر لموقع مكانية نقطية )

#### الاستنتاجات :

توصلت الدراسة إلى جملة من النقاط أهمها :

- ١- التطرق إلى المفاهيم والمعادلات العامة لجميع مؤشرات كريكنج ولأول مرة من خلال ترمة بيئية النظام . لكل طرقة من الطرق معادلة ونمط تمثيل وتخمين خاص يعكس الافتراض المتوقع عند تمثيل الخط المقطع الافتراضي .
- ٢- عند التطرق إلى جميع المؤشرات توصل البحث إلى أن الطريقة الاحتمالية أقرب إلى الدقة ، وذلك لاعتمادها على الارتباط القائم على خوارزمية معقدة في داخل النظام .

#### الوصيات :

- ١- ضرورة التعمق في المعادلات المعقدة لكل طرقة وتطبيقها يدوياً من خلال الذهاب إلى أهل الاختصاص وفك الرموز الخاصة به كي يتسعى لنا الفهم الأكثر لكل طرقة .
- ٢- اختيار آبار كثيرة في منطقة الدراسة ومن ثم العمل على طريقة كريكنج والخروج إلى نتائج وبعد ذلك أخذ عينات قليلة وتمثيلها أيضاً بنفس الطريقة ومقارنة النتائج ومعرفة أيهما أقرب إلى الواقع لأن العينات تتناسب دقتها طردياً مع زيتها فكلما زاد عدد العينات زادت الدقة وكلما قلت زادت نسبة التعميم وارتفعت نسبة الخطأ .

٣- يمكن استخدام تقنيات التحليل الإحصائي المكاني وفق آلية الاستكمال كأدوات لتحليل طبيعة توزيع المياه الجوفية وتبينها المكانية والزمانية ، وتعطي نتائجها كارتوكرافياً لا تقل قيمتها عن نتائج خرائط التمثيل النسبي Choropleth ، إلا أن الخصائص الإحصائية لقيم قواعد البيانات مثل طبيعة التوزيع والقيم المتطرفة قد تؤثر على دقة نماذج السطح .

#### المصادر :

- (١) القصاب ، عمر عبدالله ، التعلميم الآلي في نظم المعلومات الجغرافية ، رسالة ماجستير غير منشورة ، جامعة الموصل ، كلية التربية للعلوم الإنسانية ، قسم الجغرافية ، ٢٠١٠ .
- (٢) بدن ، التعلميم الخرائطي التموذجي : هو عملية اشتغال انموذج مكاني للبيانات المعممة عن البيانات الأصلية مع الحفاظ على كمال ودقة محتواها اثناء تغيير المقاييس .
- (٣) رشيد ، ذكرى ، التوزيع الجغرافي للمرائب المختارة في بغداد ، الرصافة ، رسالة ماجستير (غير منشورة) ، كلية التربية للبنات ، جامعة بغداد ، ٢٠٠٢ .
- (٤) جميع المفاهيم التي سترد في متن هذا البحث والاشكال هي من بيئه نظام Arc GIS v.10.3 ولا حاجة لذكرها وتكرارها في كل صفحة .
- (٥) داود ، جمعة محمد ، أسس التحليل المكاني في اطار نظم المعلومات الجغرافية GIS ، ط١ ، مكة المكرمة ، المملكة العربية السعودية ، ٢٠١٢ .
- (٦) Anselin , L, spatial statistical (modeling in GIS Invironment, In Maguire ,D.J,etal. Ceds)GIS, Spatial Analysis and modeling ,2005.
- (٧) George .F. jenks . generalization in Amman , Jordan statistical mapping , annals of the association of American geographer , 1963 .

#### References :

- 1- Omar Abdullah Al-Qassab, Automated Circularization in Geographic Information Systems, Unpublished Master Thesis, University of Mosul, College of Education for Humanities, Department of Geography, 2010..
- 2- Zekra Rashid Rashid, Geographical Distribution of Selected Garages in Baghdad, Rusafa, Master Thesis (Unpublished), College of Education for Girls, University of Baghdad, 2002..
- 3- George .F. jenks . generalization in Amman , Jordan statistical mapping annals of the association of American geographer , 1963.
- 4- Juma Muhammad Dawood, Foundations of Spatial Analysis in the Framework of Geographical Information Systems GIS, 1st Floor, Makkah Al-Mukarramah, Kingdom of Saudi Arabia, 2012.
- 5- Anselin , L, spatial statistical (modeling in GIS Invironment, In Maguire ,D.J,etal. Ceds)GIS, Spatial Analysis and modeling ,2005.

## Using of statistical analysis (Kringing) for measuring the groundwater pollution in Baghdad city and generalizing its maps

Assist Proff. Dr.Abeer Yahya Al Sakini  
Al Mustansiria University – Collage of Education Department  
[abeersakini8@gmail.com](mailto:abeersakini8@gmail.com)

**Abstract :** The Study aims to explore which is the qualified technique for geostatistical analysis (Kringing) in measuring the groundwater pollution in Baghdad City and generalizing its maps, and identifying the most intense of groundwater pollution (SO<sub>2</sub> ) and establishing mapping models in three scales that reflecting the levels for samples from groundwater (30) water Wells .

The water wells have been identified by using GPS that are mentioned in the study area by coordinates location, using the best spatial model for calculating the levels by using technical methods throughout applying classification method (Kringing feature) and drawing it mapping and generalize it for three scales 25000/1 , 50000/1 and 100000/1 and analysing the indictors and establishing a geographical database.